

Program EVALPLOT  
(Version 2018-1)

by

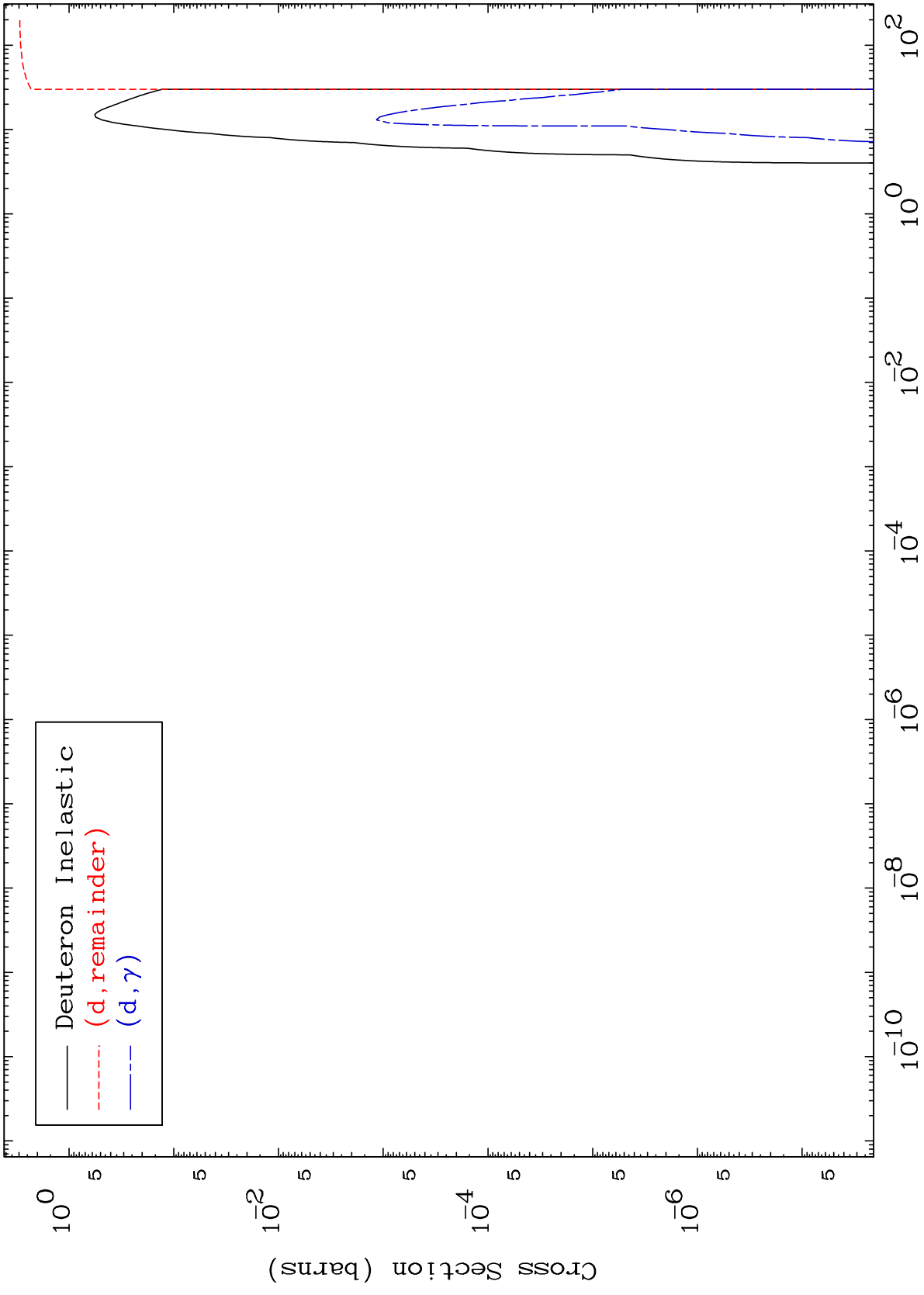
Dermott E. Cullen  
(Present Contact Information)

Dermott E. Cullen  
1466 Hudson Way  
Livermore, CA 94550  
U.S.A.

Tele: 925-443-1911

E.Mail:redcullen1@comcast.net  
Web:redcullen1.net/HOMEPAGE.NEW

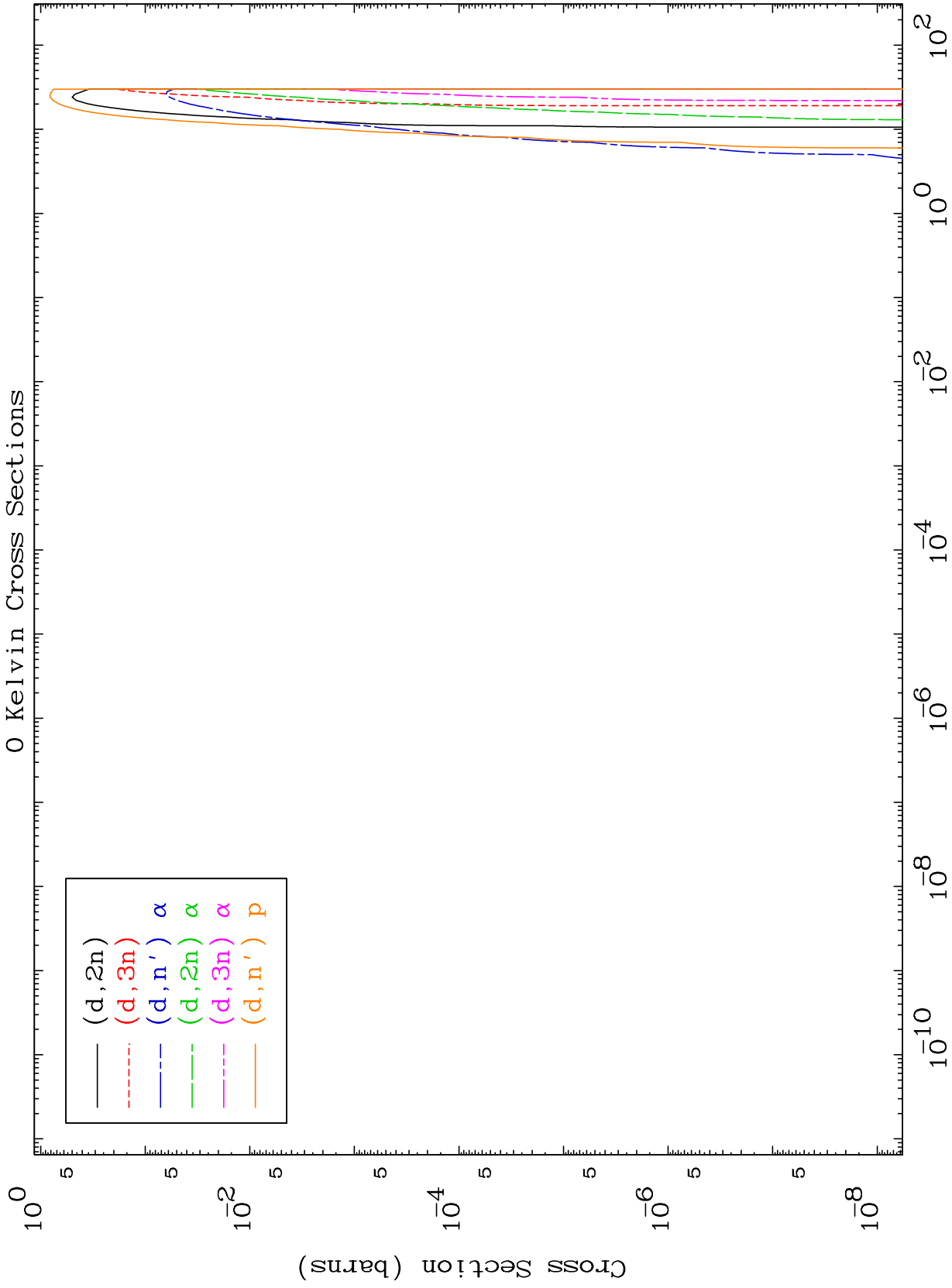
Press Mouse Button to Start



MAT 8077

Deuteron Neutron Production  
0 Kelvin Cross Sections

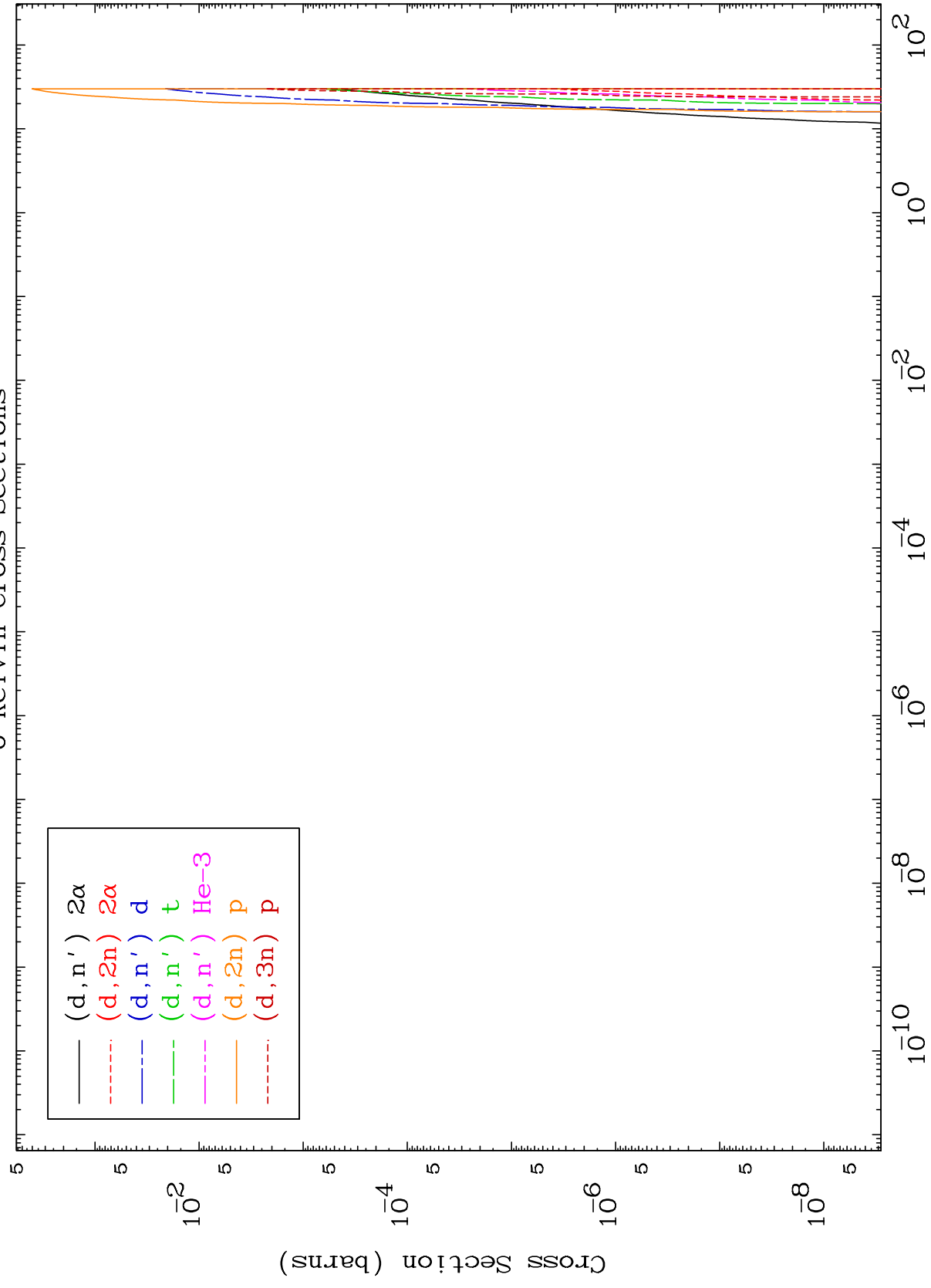
81-Tl-187



2

Incident Energy (MeV)

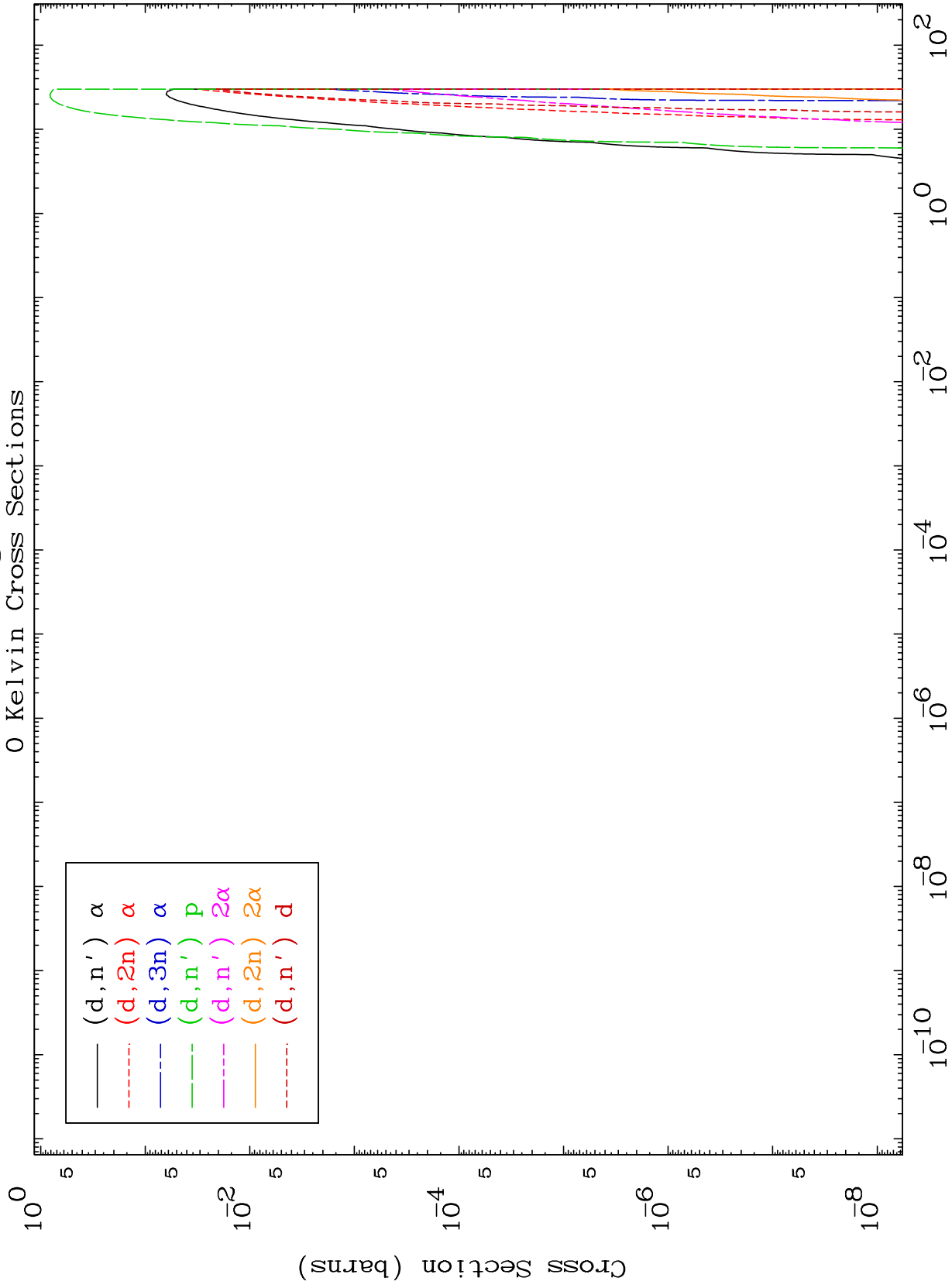
81-Tl-187



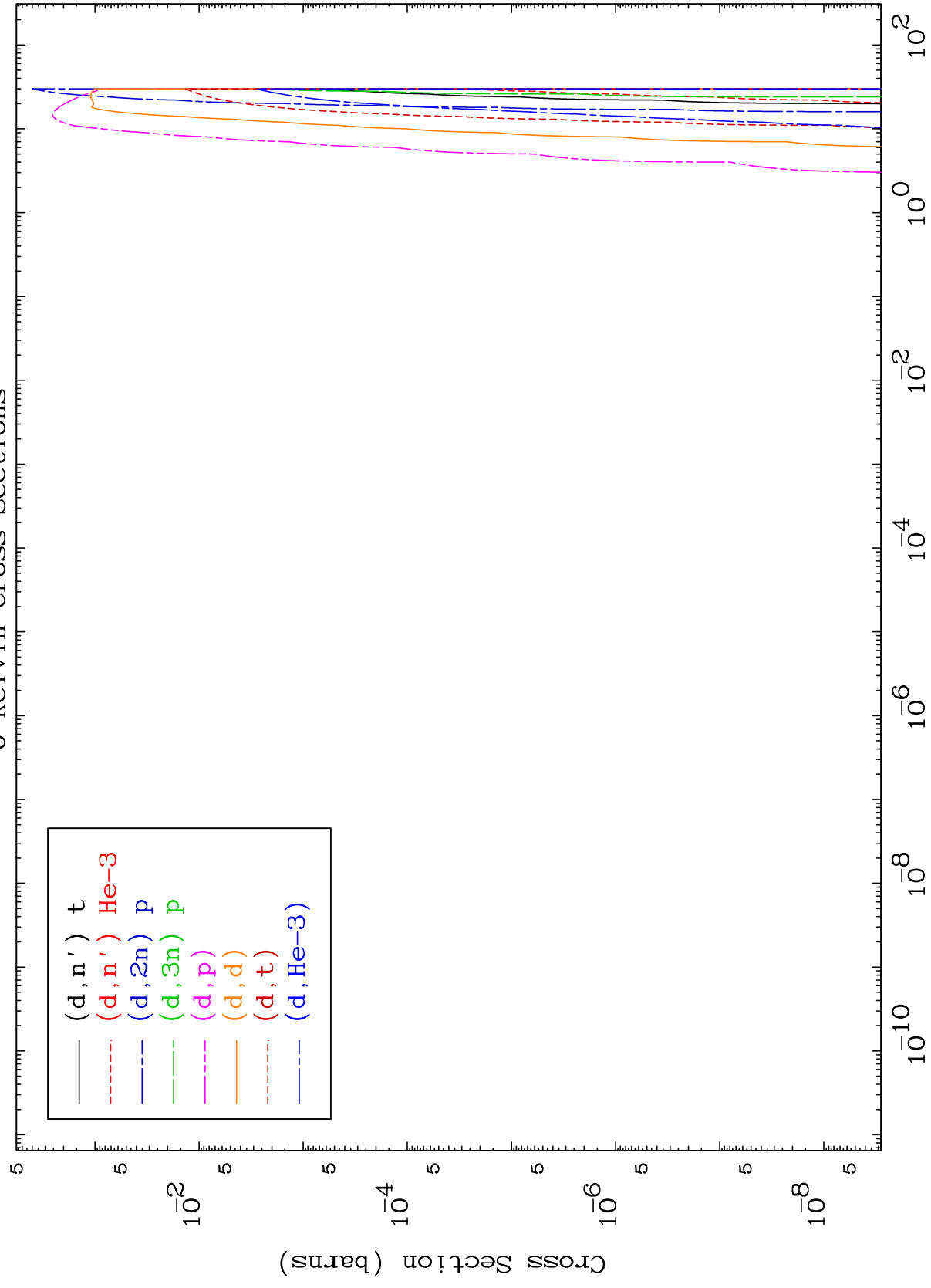
MAT 8077

Deuteron Charged Particle  
0 Kelvin Cross Sections

81-Tl-187



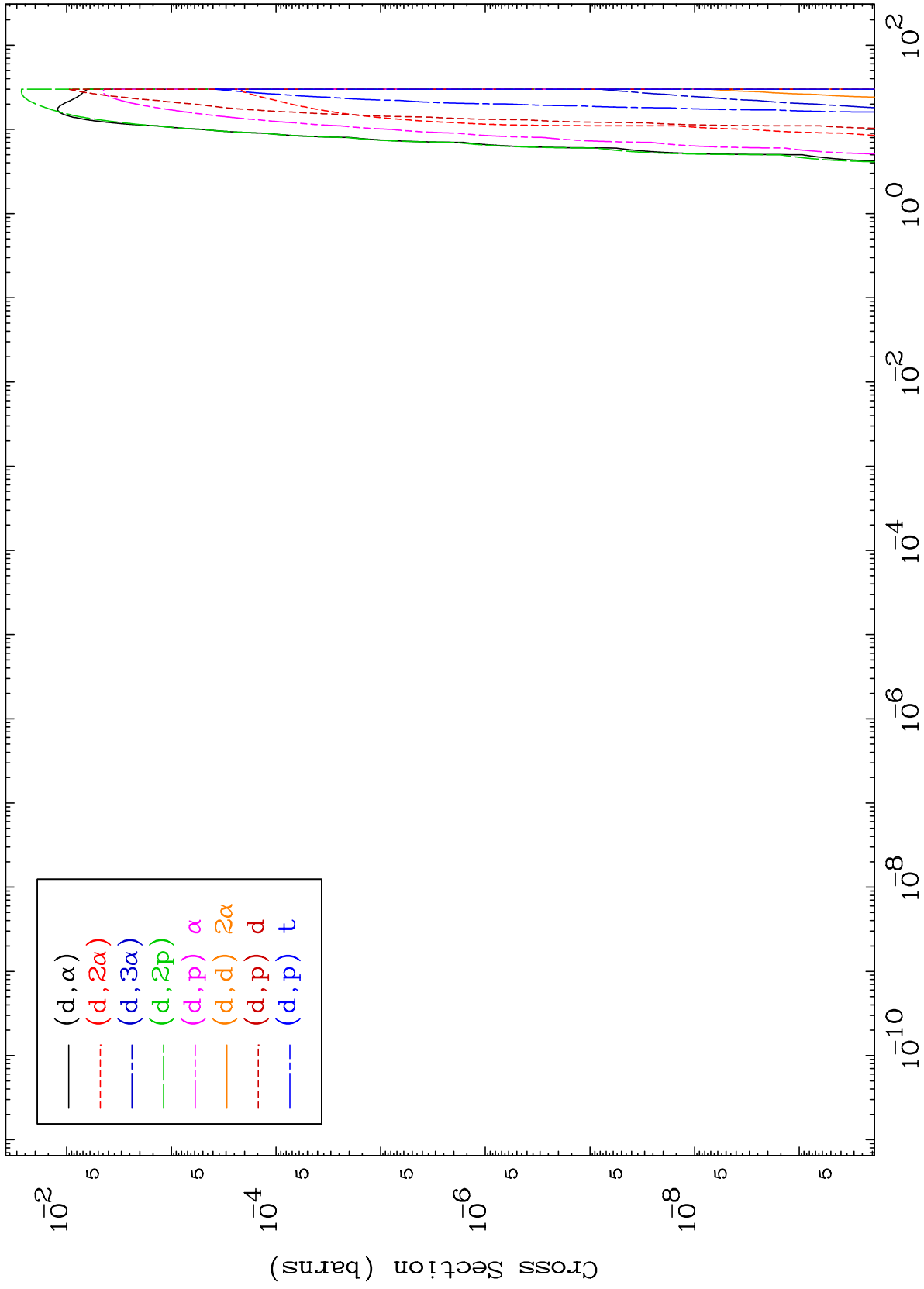
81-Tl-187



MAT 8077

Deuteron Charged Particle  
0 Kelvin Cross Sections

81-T1-187



6

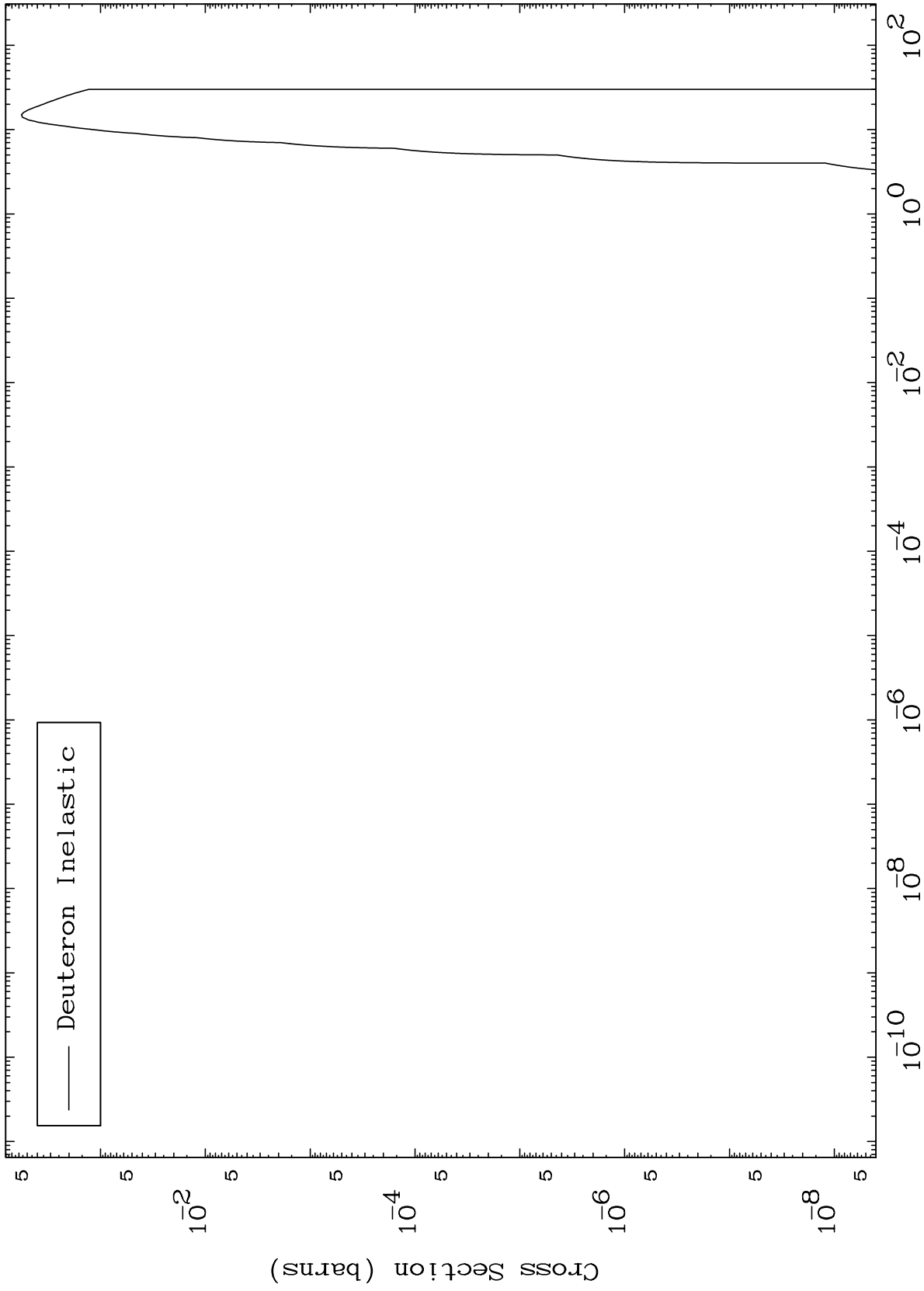
Incident Energy (MeV)

81-T1-187

MAT 8077

(d,n') Level  
0 Kelvin Cross Sections

81-Tl-187



7

Incident Energy (MeV)

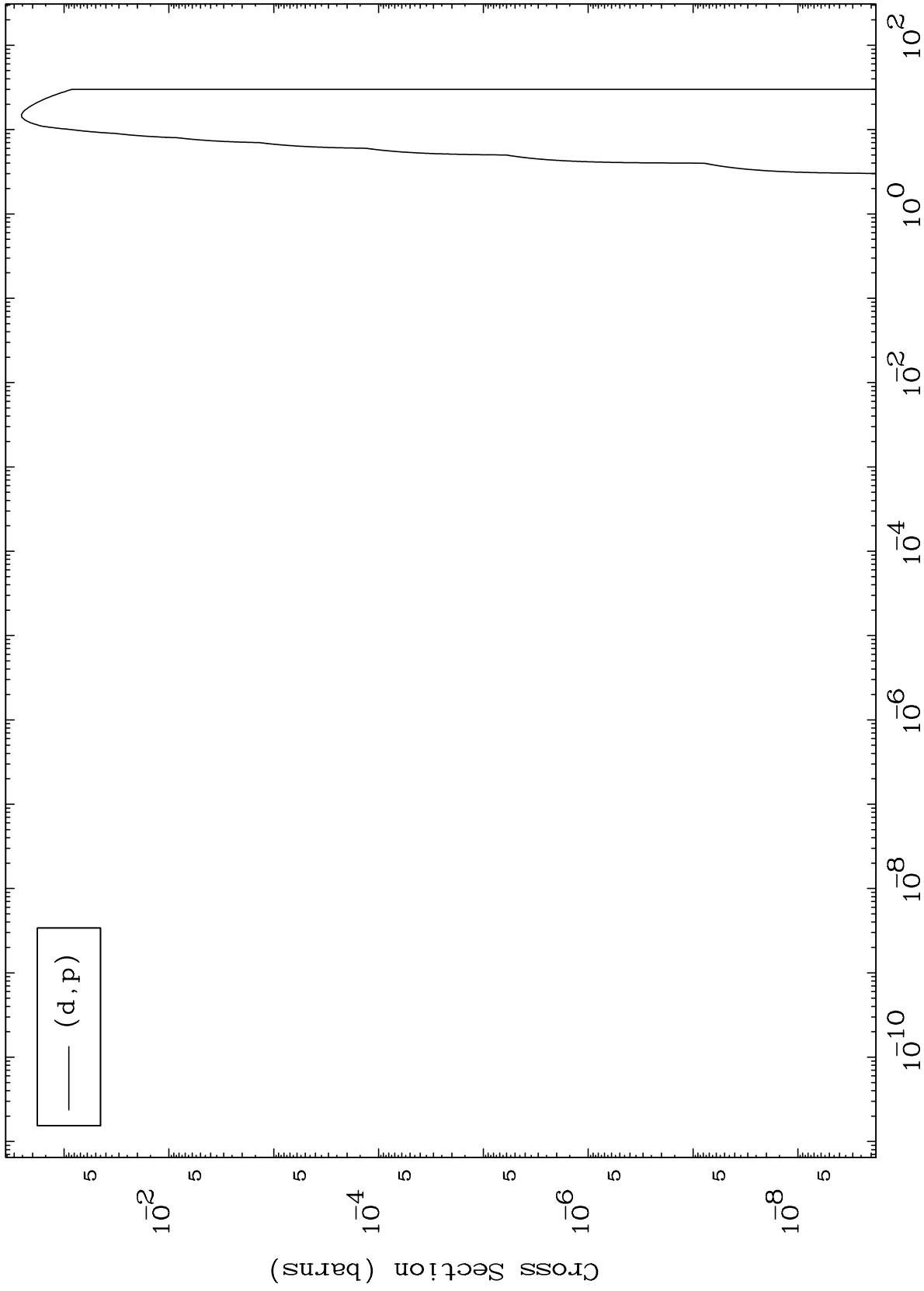
81-Tl-187



MAT 8077

(d,p) Levels  
0 Kelvin Cross Sections

81-Tl-187



8

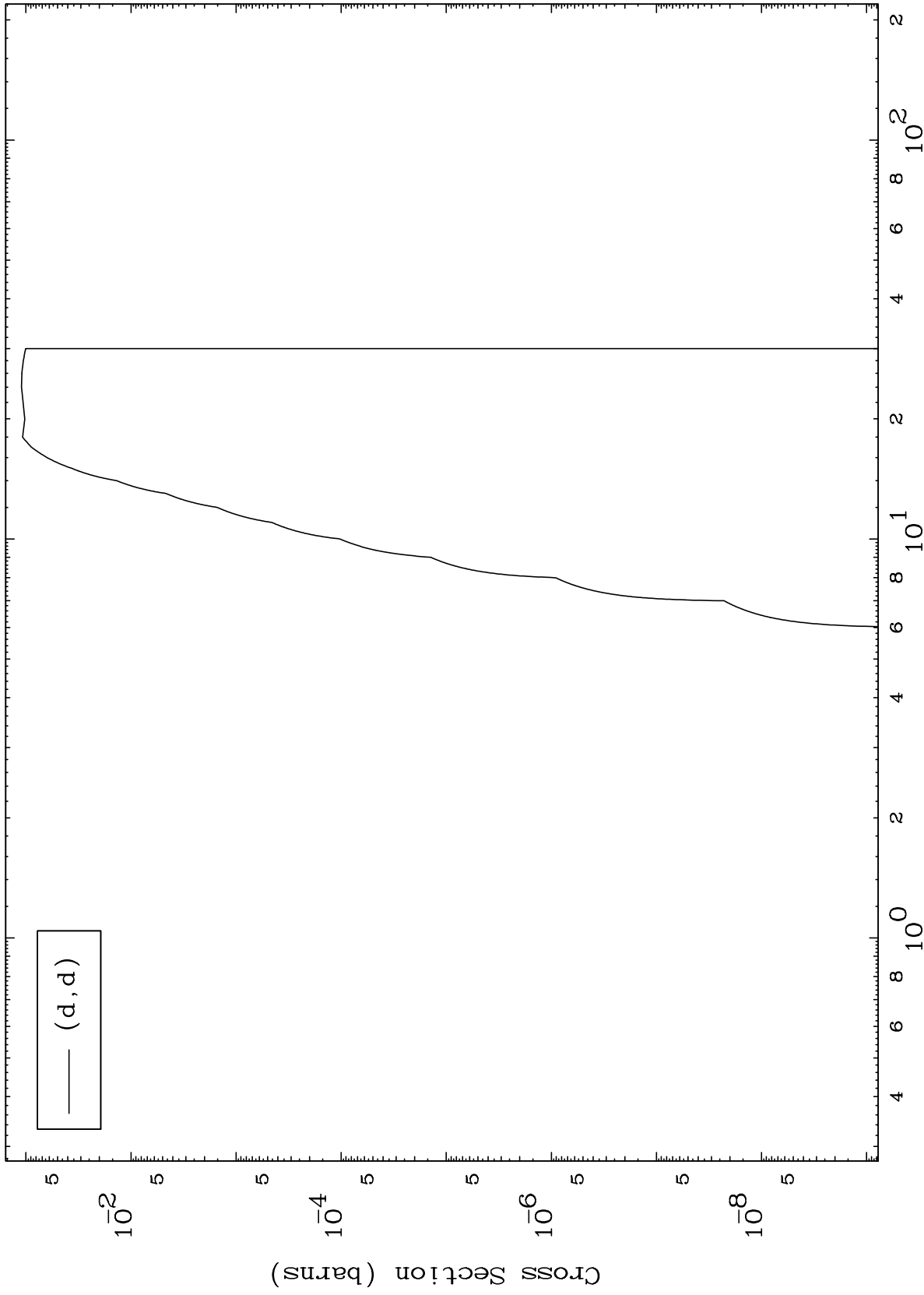
Incident Energy (MeV)

81-Tl-187

MAT 8077

(d,d) Levels  
0 Kelvin Cross Sections

81-Tl-187



9

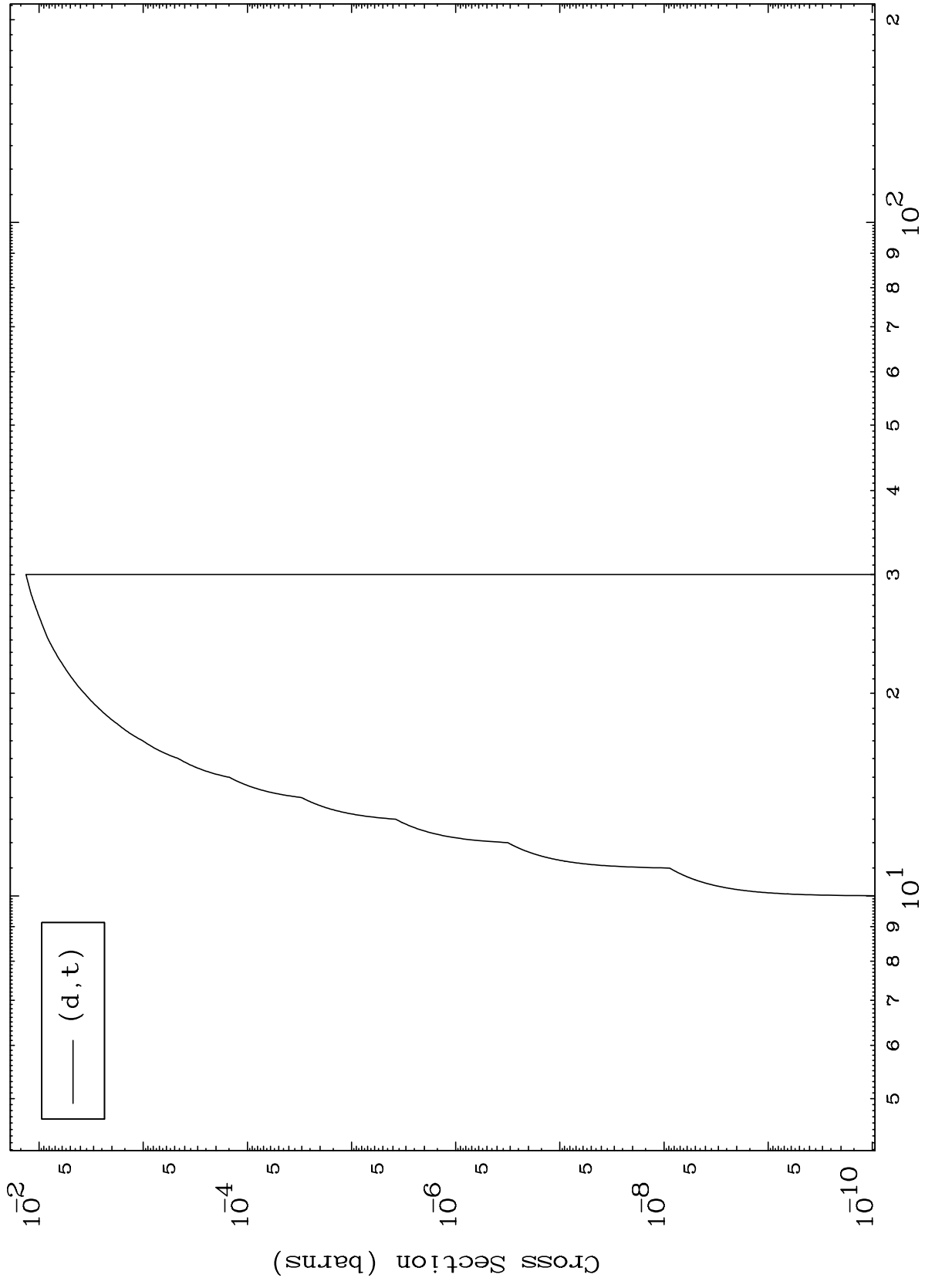
Incident Energy (MeV)

81-Tl-187

MAT 8077

(d,t) Levels  
0 Kelvin Cross Sections

81-Tl-187



10

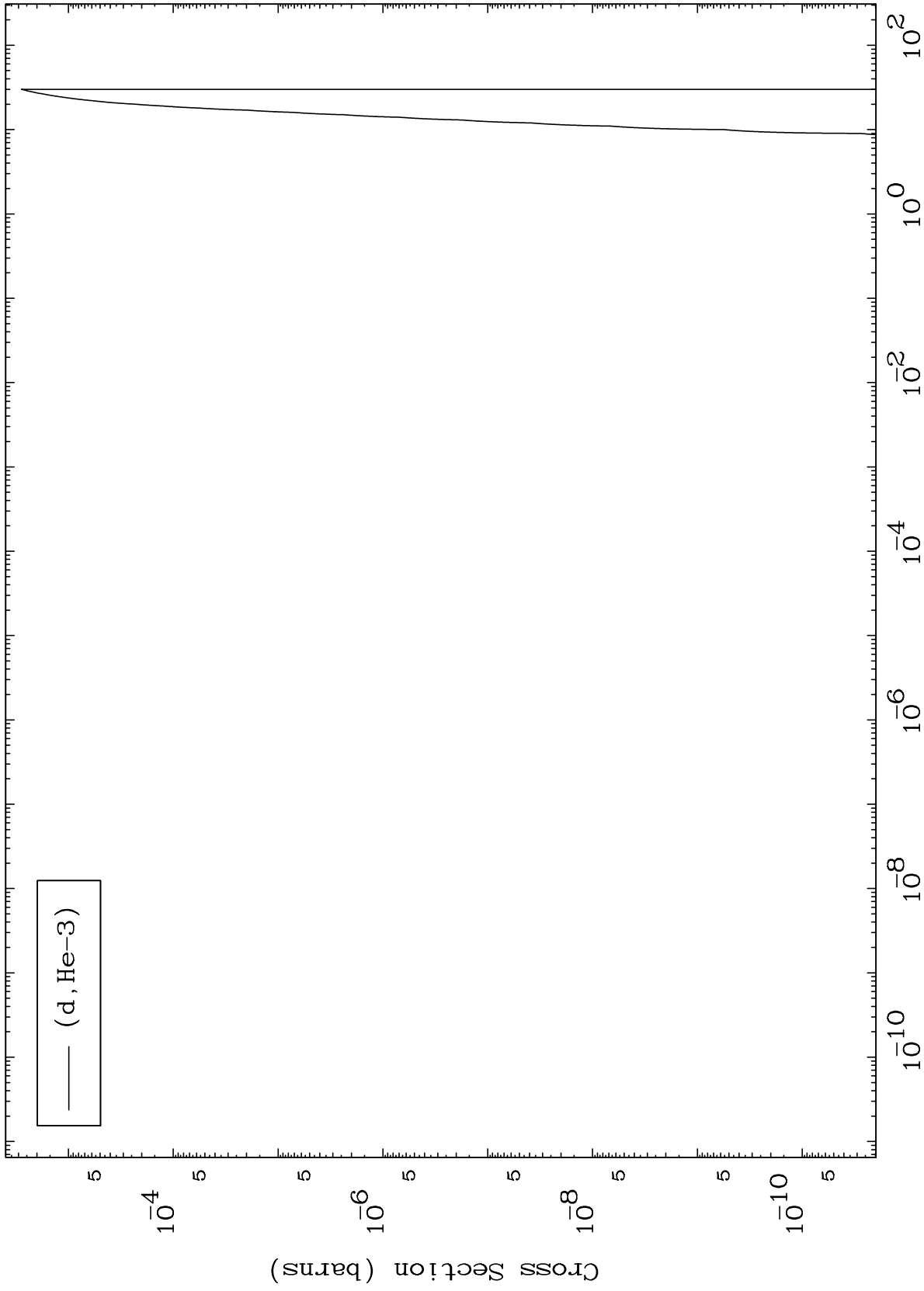
Incident Energy (MeV)

81-Tl-187

MAT 8077

(d,He3) Levels  
0 Kelvin Cross Sections

81-Tl-187



11

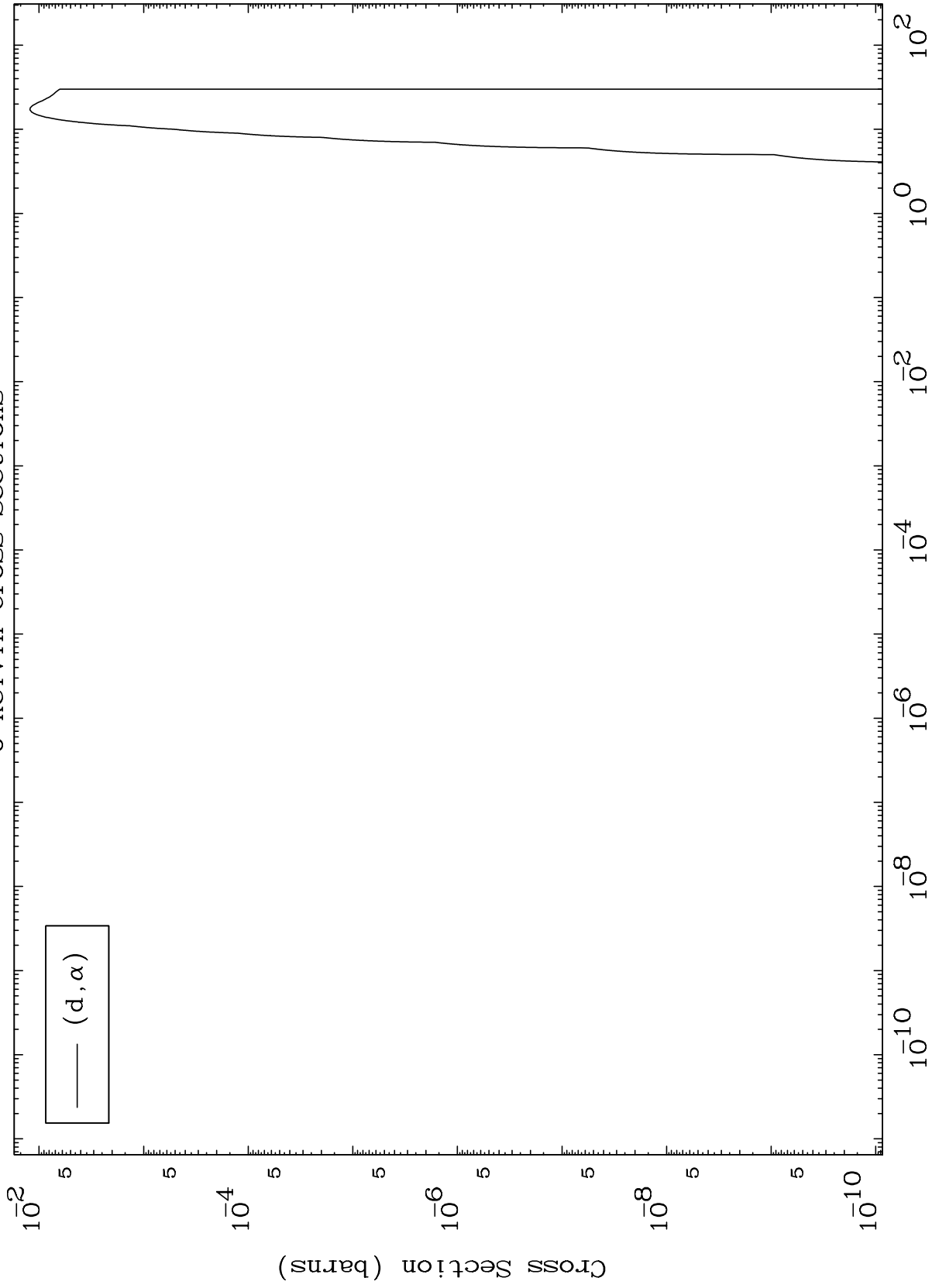
Incident Energy (MeV)

81-Tl-187

MAT 8077

(d, $\alpha$ ) Levels  
0 Kelvin Cross Sections

81-Tl-187



12

Incident Energy (MeV)

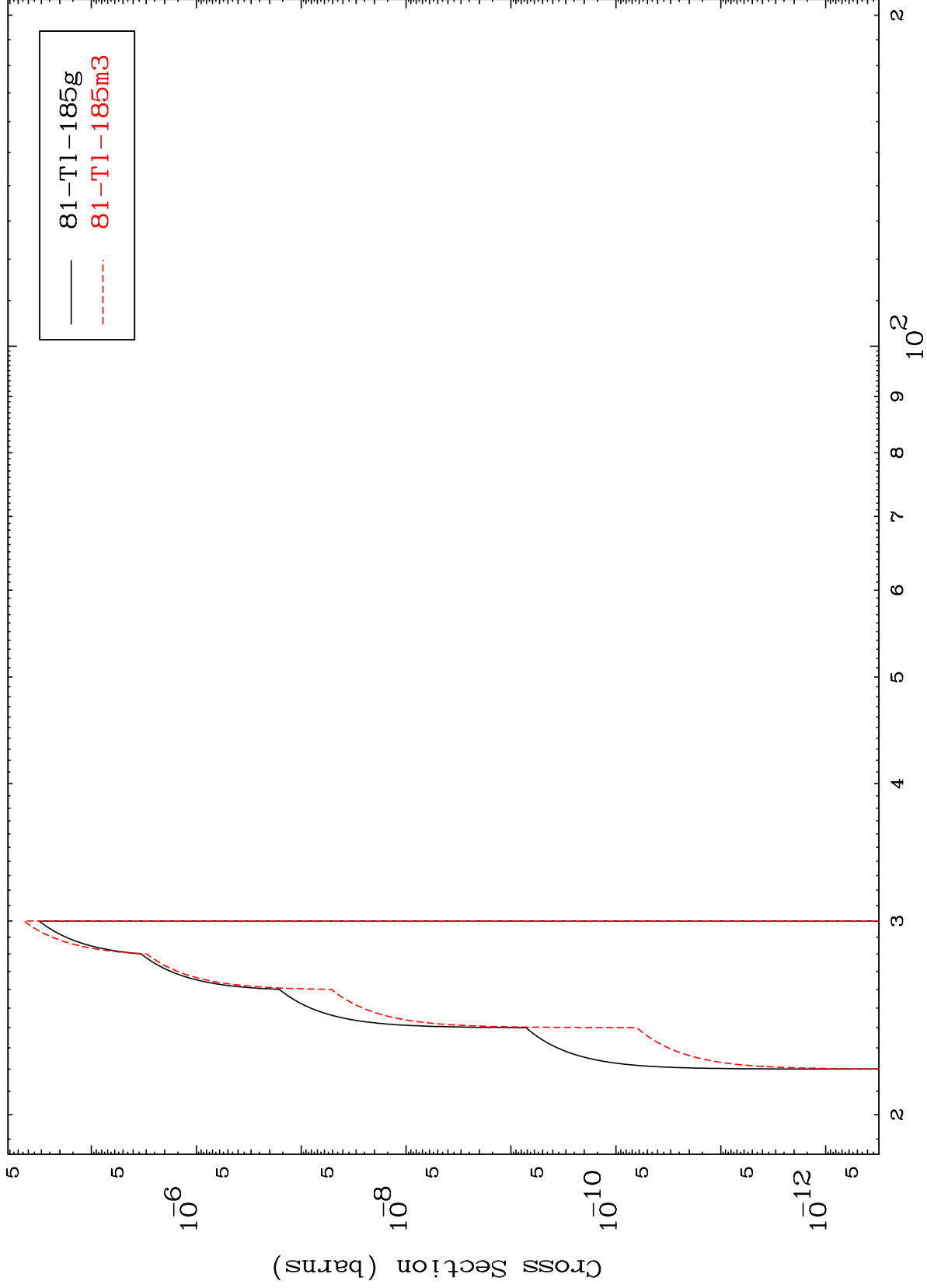
81-Tl-187

MAT 8077

(d,2n) d

81-Tl-187

Radionuclide Production Cross Section



13

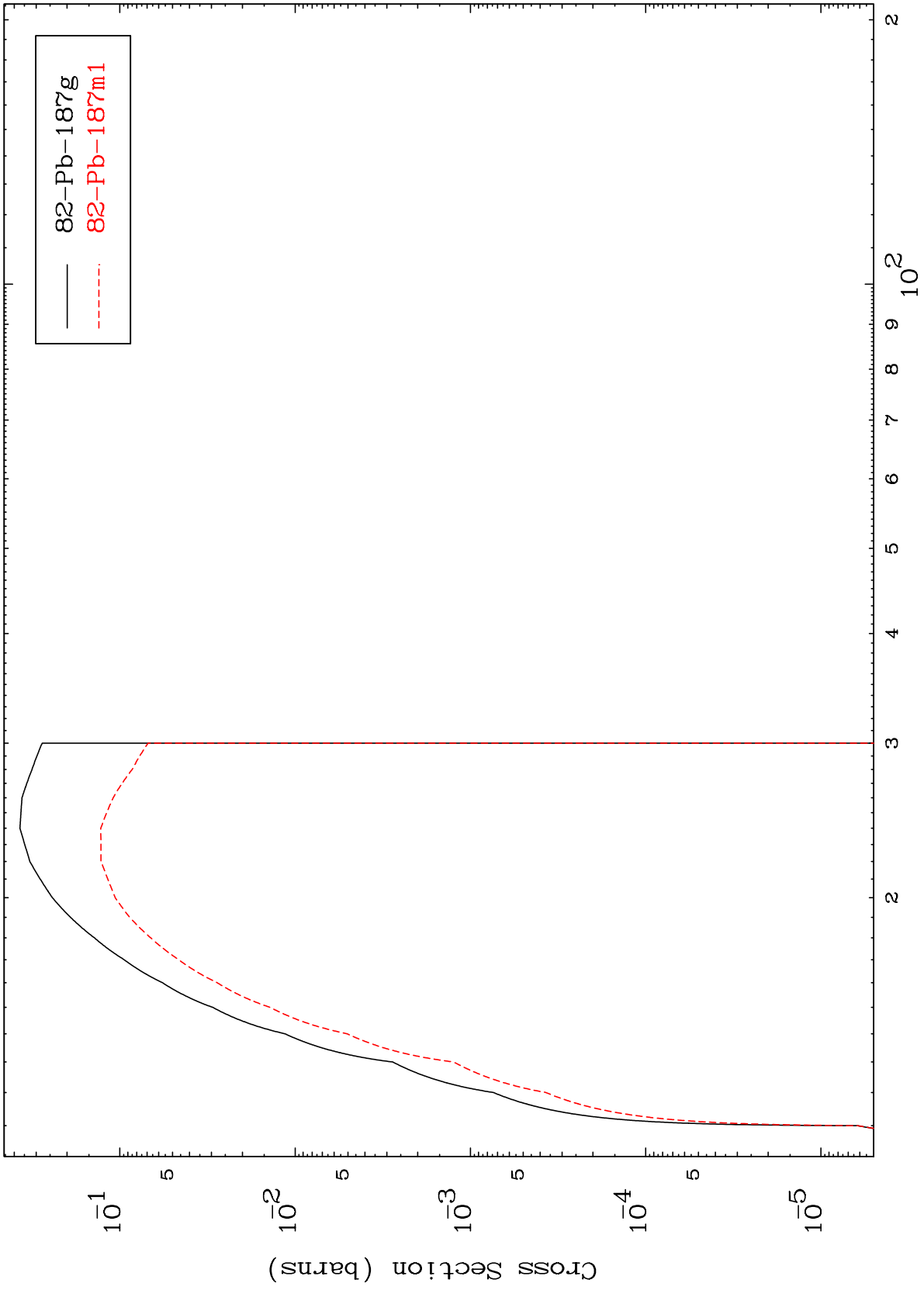
Incident Energy (MeV)

81-Tl-187

MAT 8077

81-Tl-187

(d,2n)  
Radionuclide Production Cross Section



14

Incident Energy (MeV)

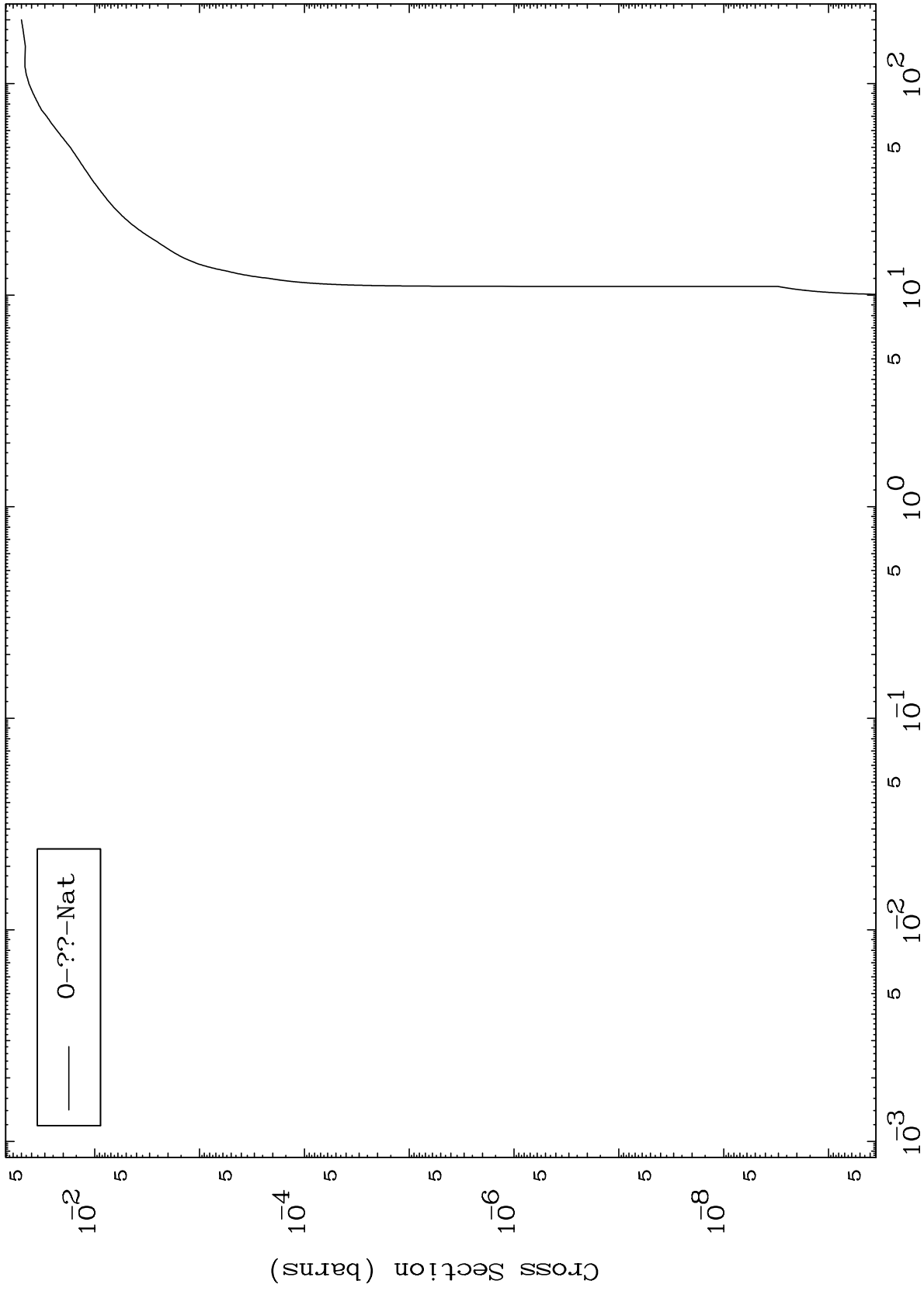
81-Tl-187

MAT 8077

Deuteron Fission

81-Tl-187

Radionuclide Production Cross Section



15

Incident Energy (MeV)

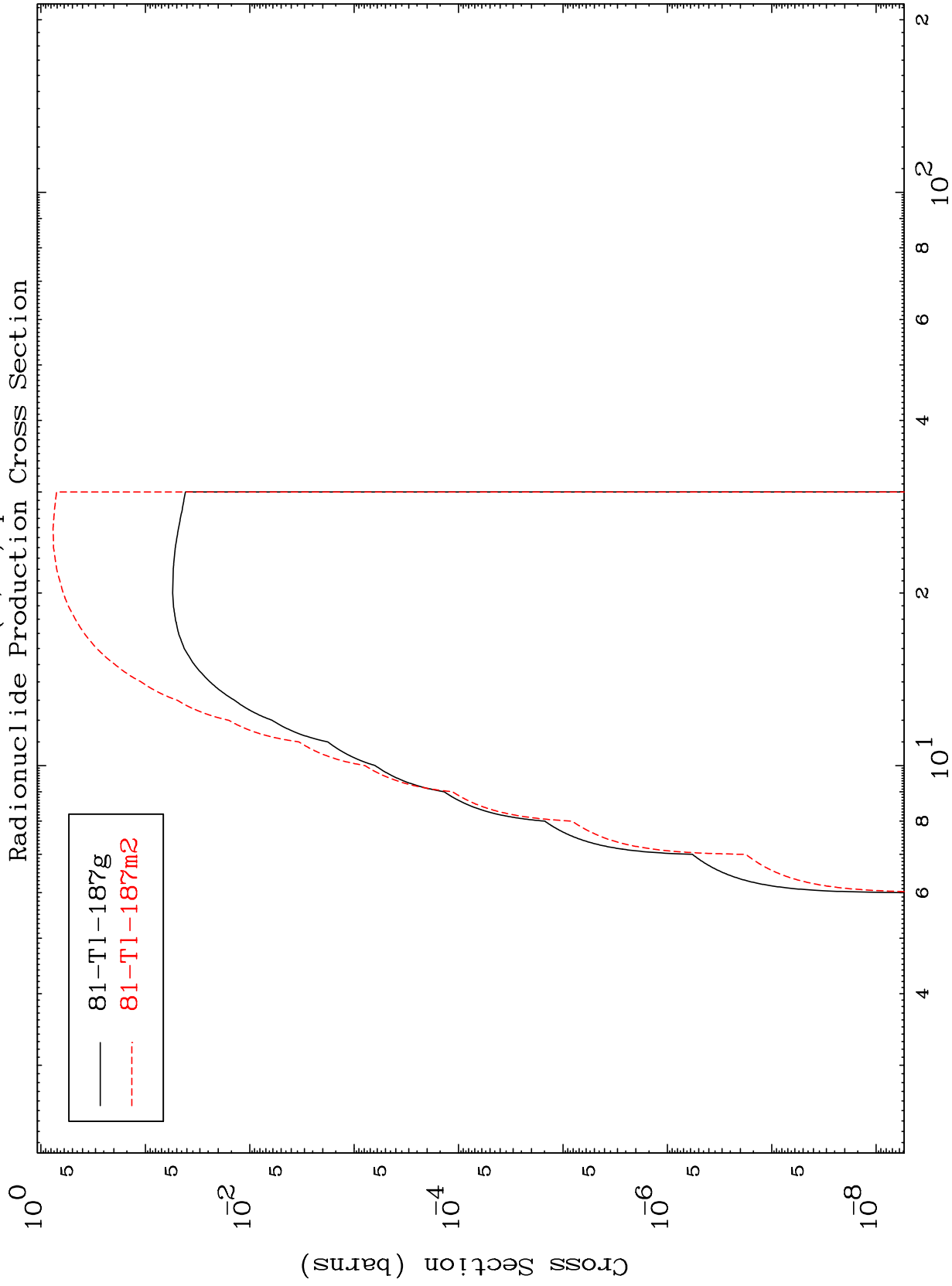
81-Tl-187



MAT 8077

(d,n') p

81-Tl-187



16

Incident Energy (MeV)

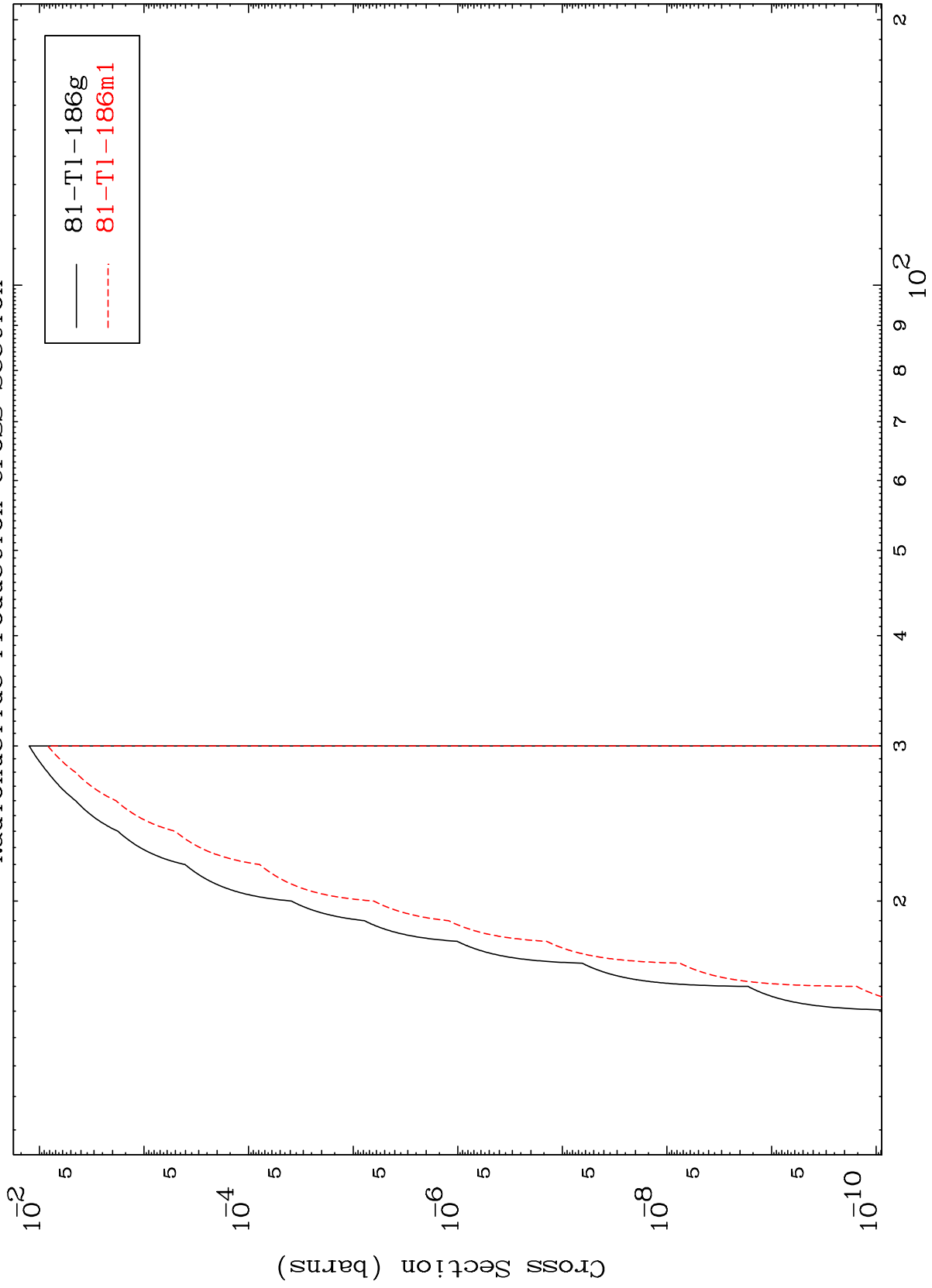
81-Tl-187

MAT 8077

(d,n') d

81-Tl-187

Radionuclide Production Cross Section



81-Tl-186g  
81-Tl-186m1

17

Incident Energy (MeV)

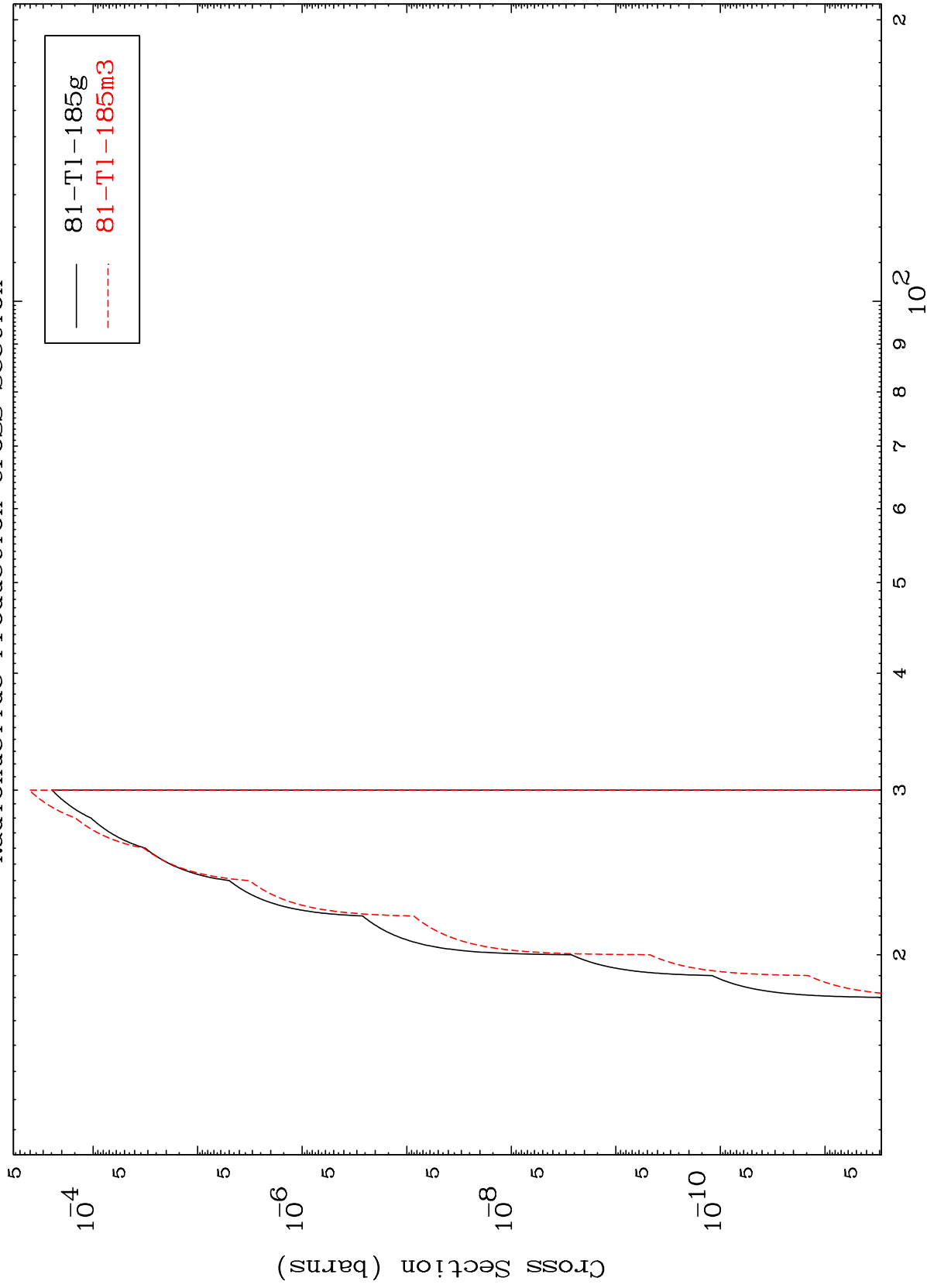
81-Tl-187

MAT 8077

(d,n') t

81-Tl-187

Radionuclide Production Cross Section



18

Incident Energy (MeV)

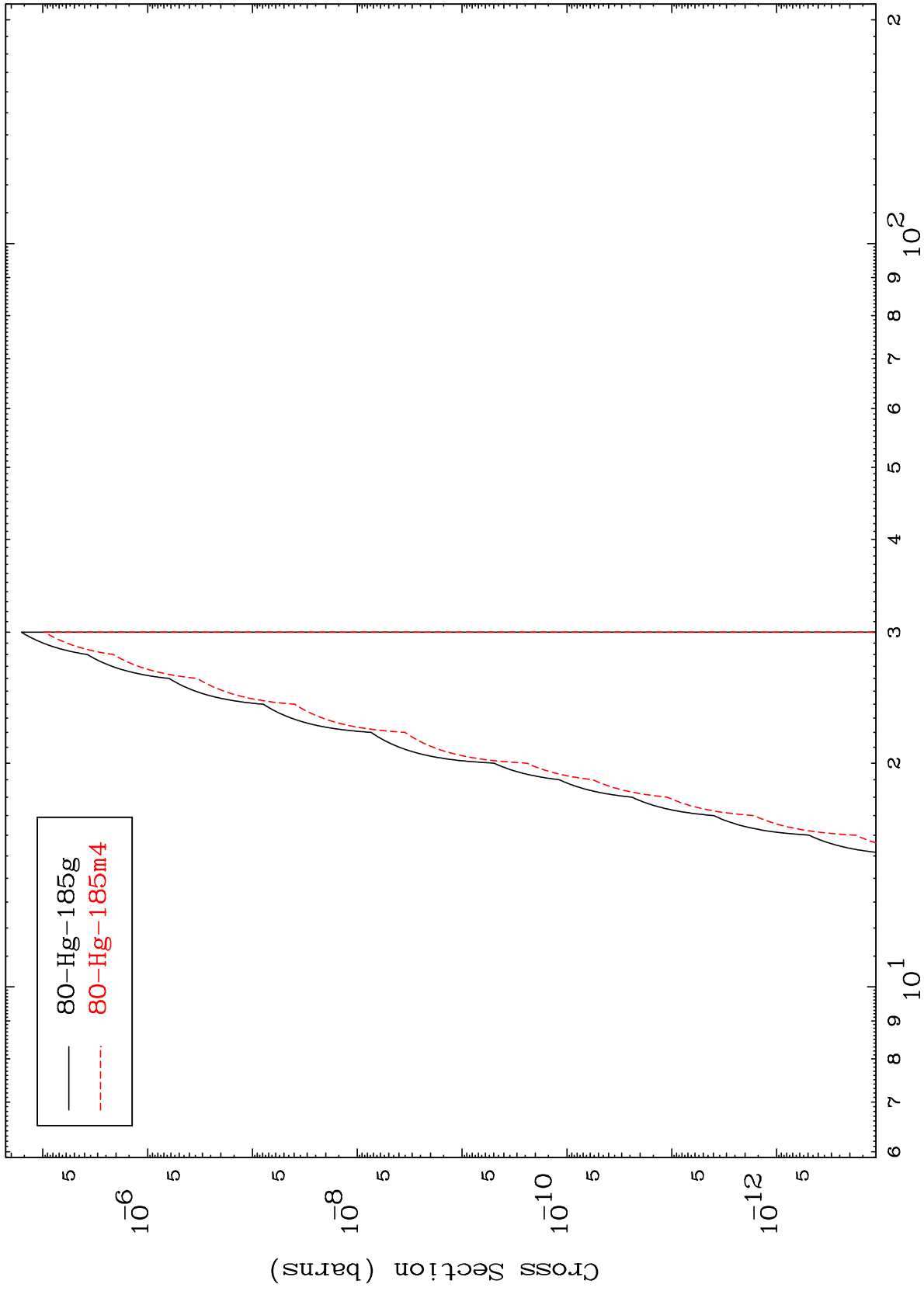
81-Tl-187

MAT 8077

(d, n') He-3

81-Tl-187

Radionuclide Production Cross Section



19

Incident Energy (MeV)

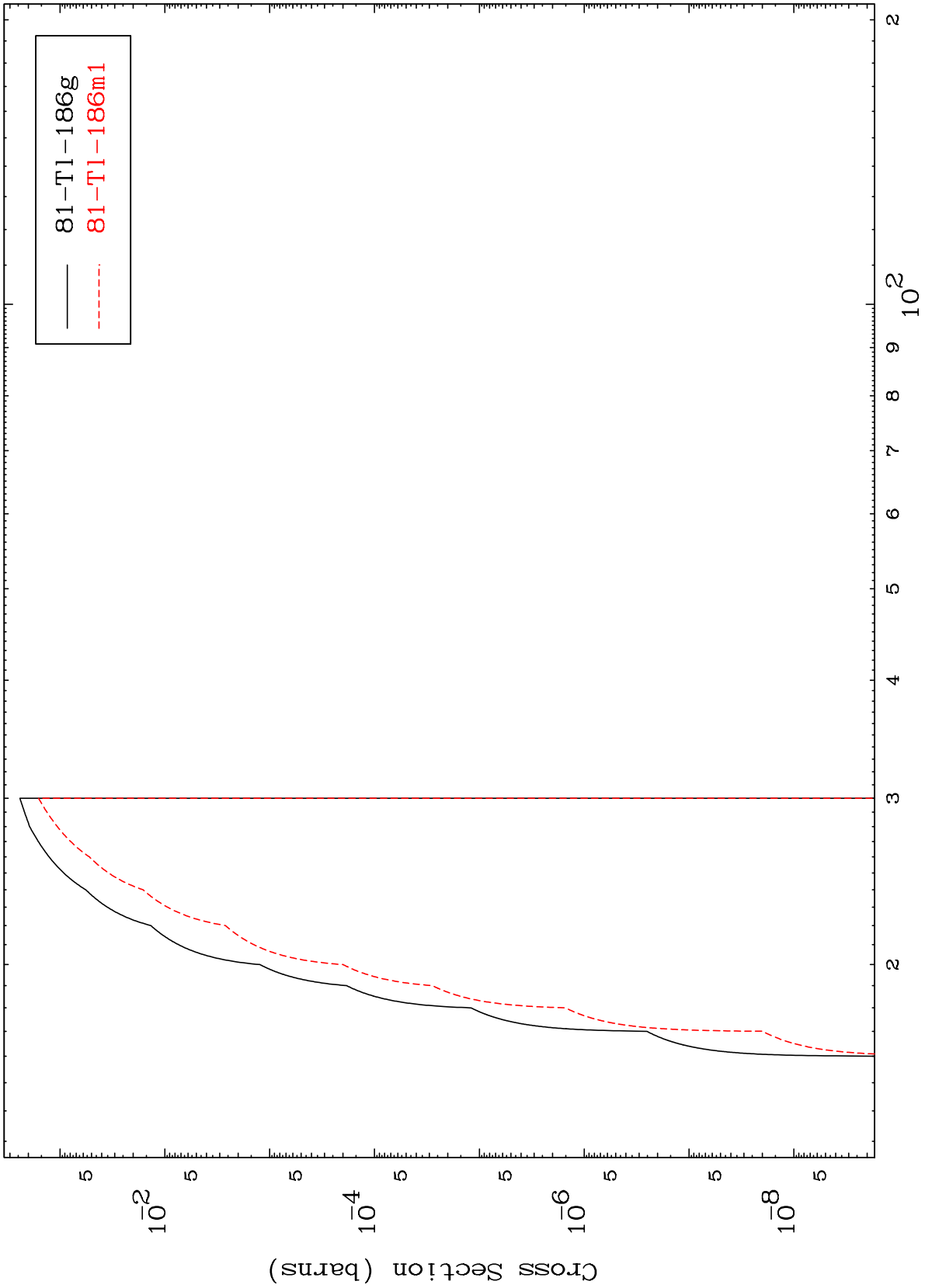
81-Tl-187

MAT 8077

(d,2n) p

81-Tl-187

Radionuclide Production Cross Section



20

Incident Energy (MeV)

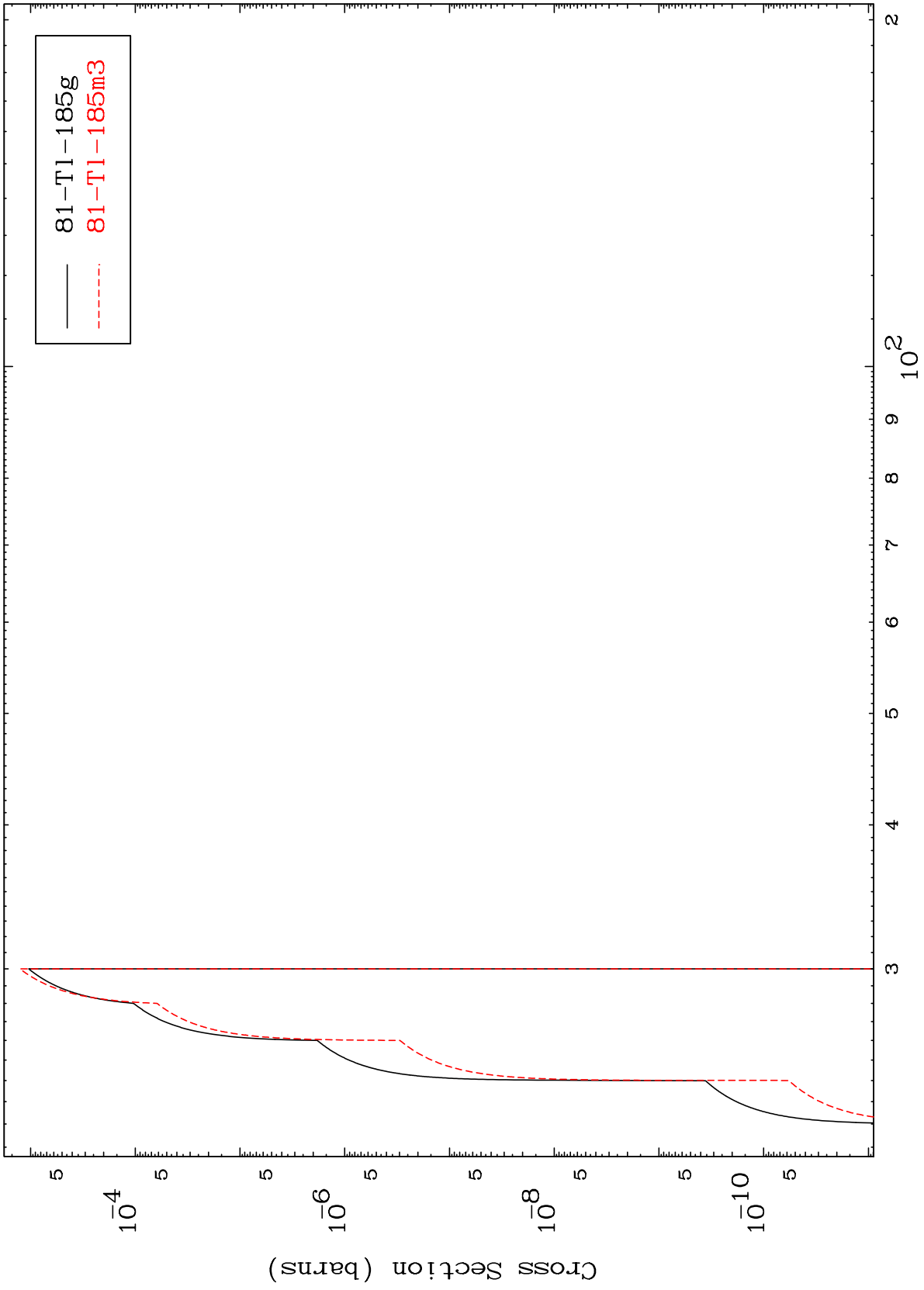
81-Tl-187

MAT 80777

(d,3n) p

81-Tl-187

Radionuclide Production Cross Section



21

Incident Energy (MeV)

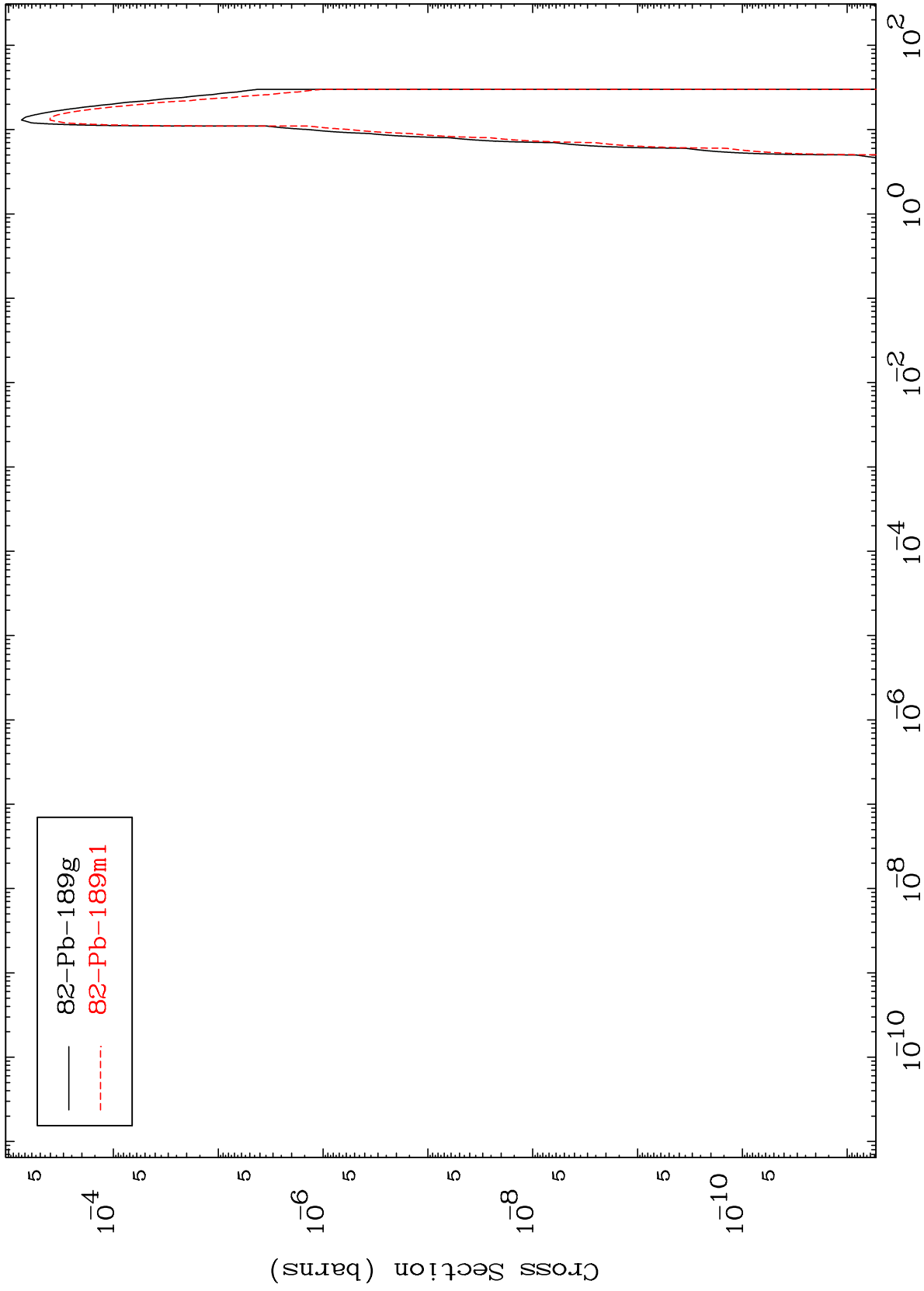
81-Tl-187

MAT 8077

(d,  $\gamma$ )

81-Tl-187

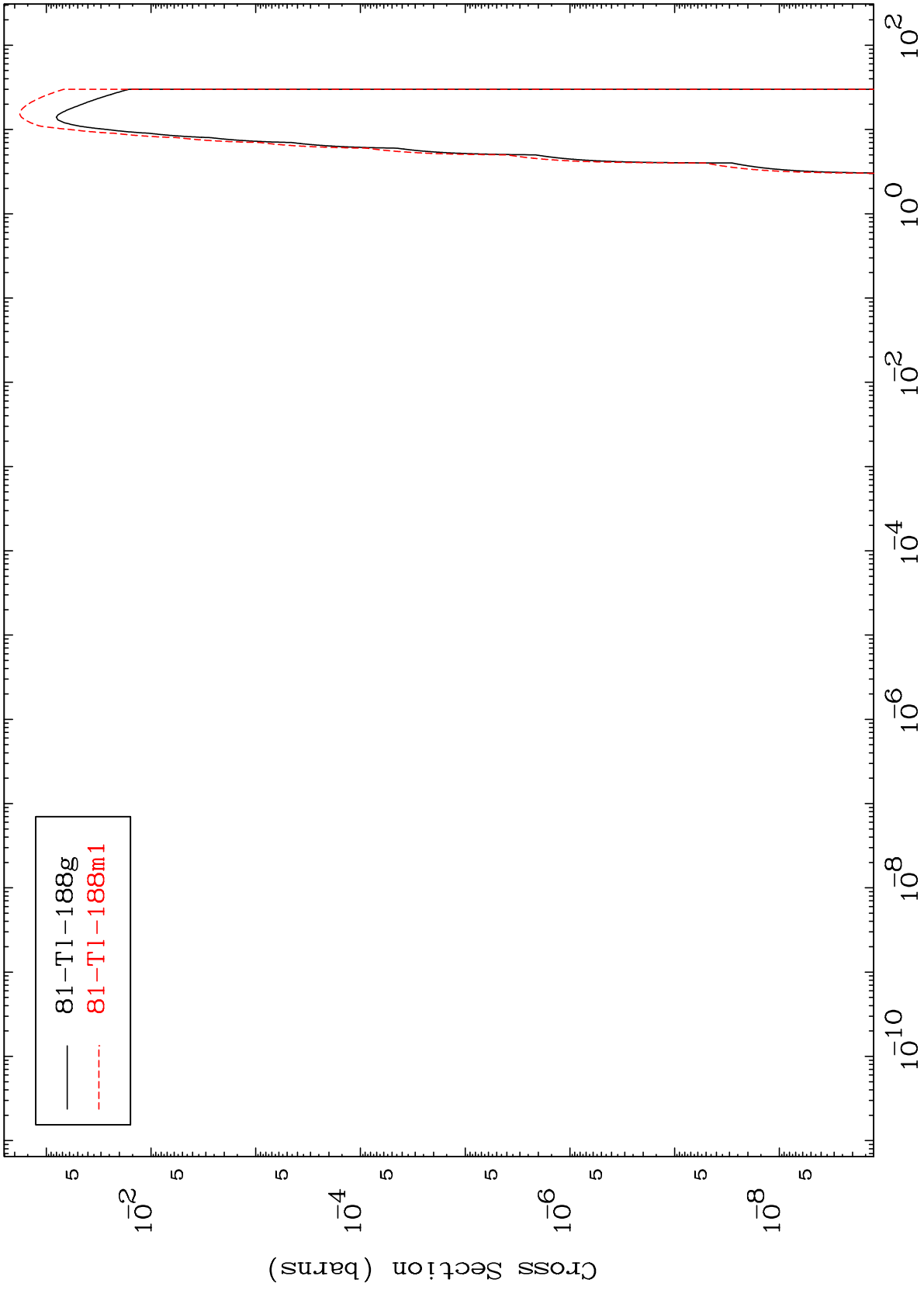
Radionuclide Production Cross Section



MAT 8077

(d,p)  
Radionuclide Production Cross Section

81-Tl-187



23

Incident Energy (MeV)

81-Tl-187

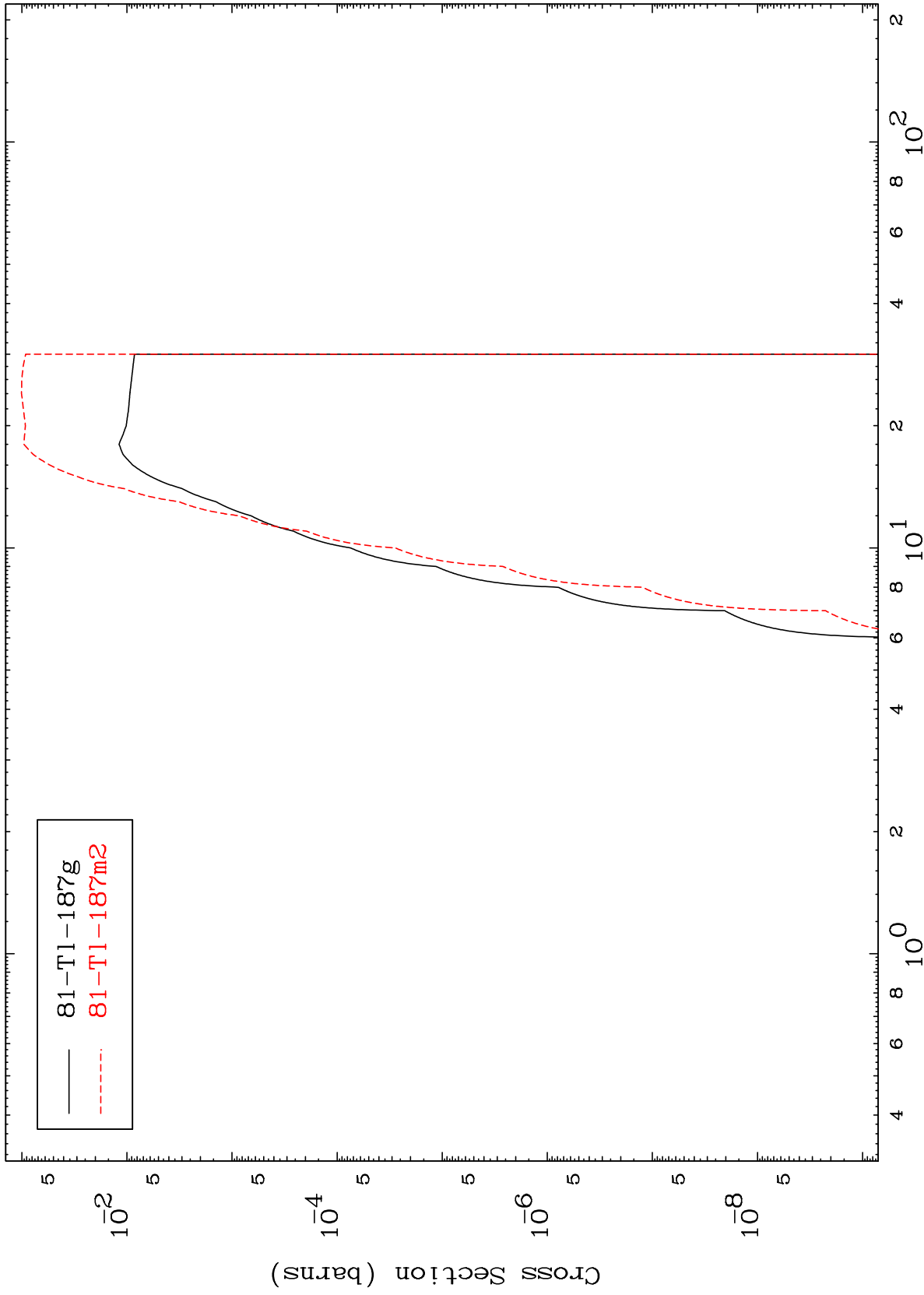


MAT 8077

(d,d)

81-Tl-187

Radionuclide Production Cross Section



24

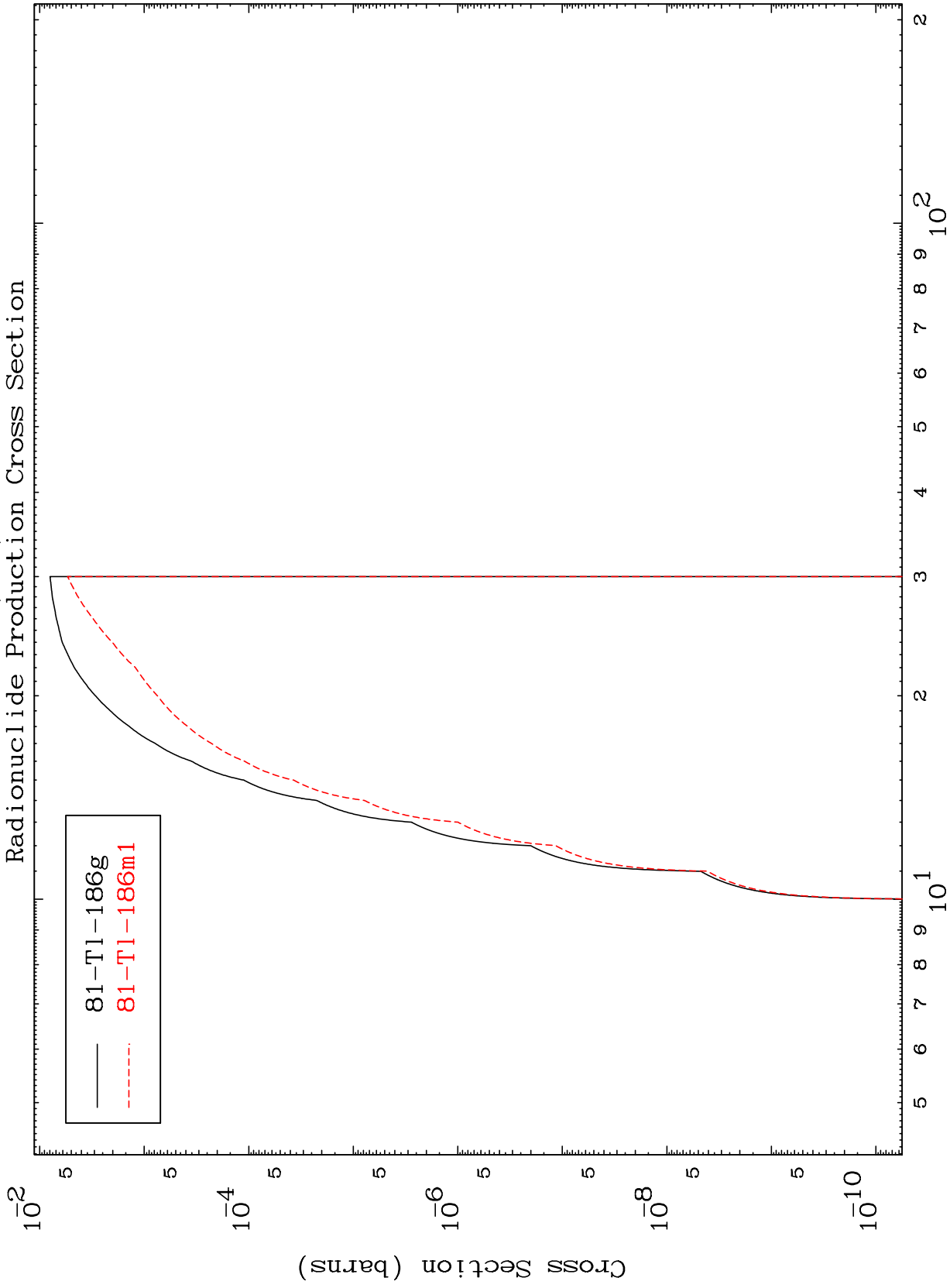
Incident Energy (MeV)

81-Tl-187

MAT 8077

81-Tl-187

(d, t)  
Radionuclide Production Cross Section



25

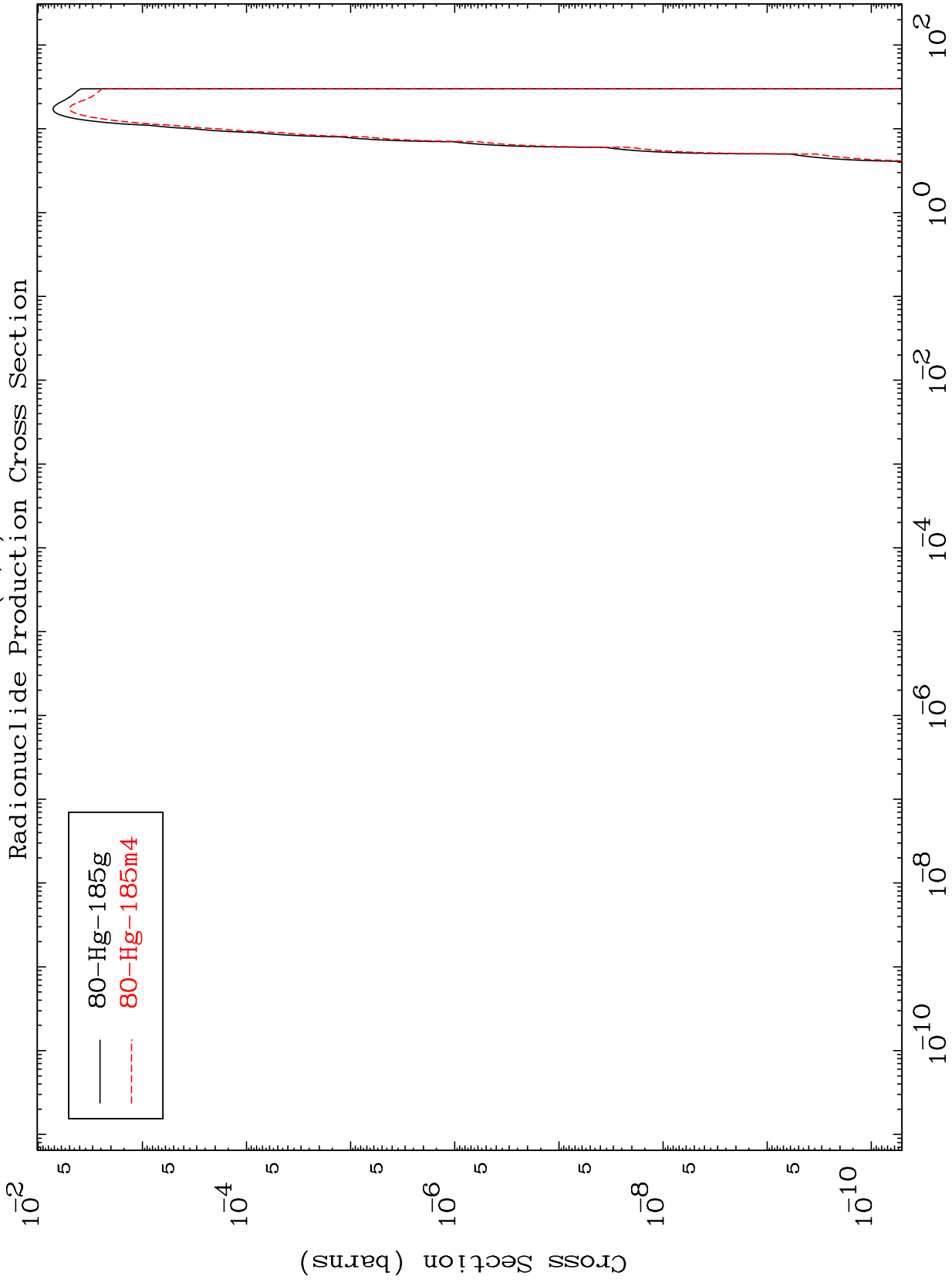
81-Tl-187

MAT 8077

(d,  $\alpha$ )

81-Tl-187

Radionuclide Production Cross Section



26

Incident Energy (MeV)

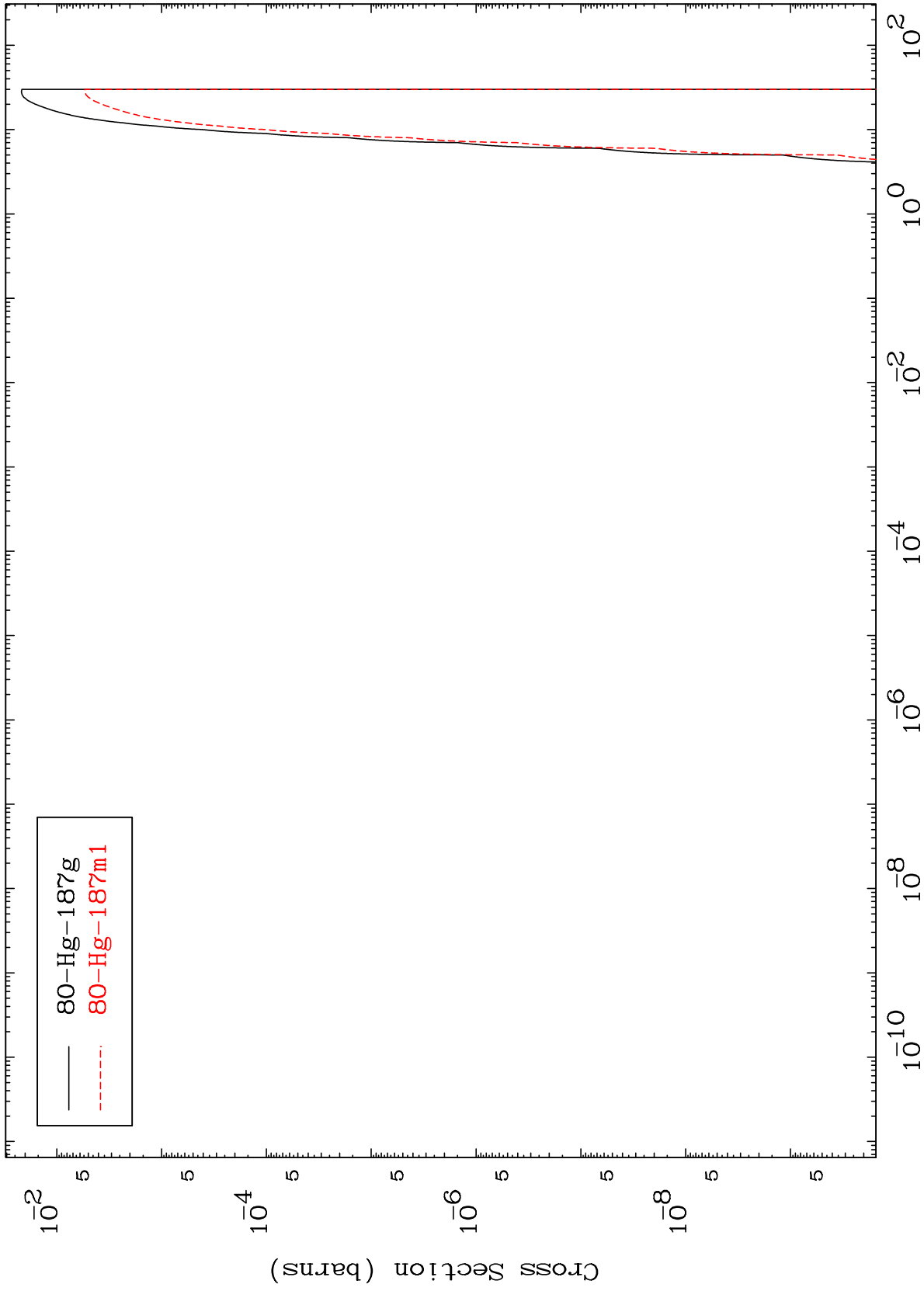
81-Tl-187

MAT 8077

(d,2p)

81-Tl-187

Radionuclide Production Cross Section



27

Incident Energy (MeV)

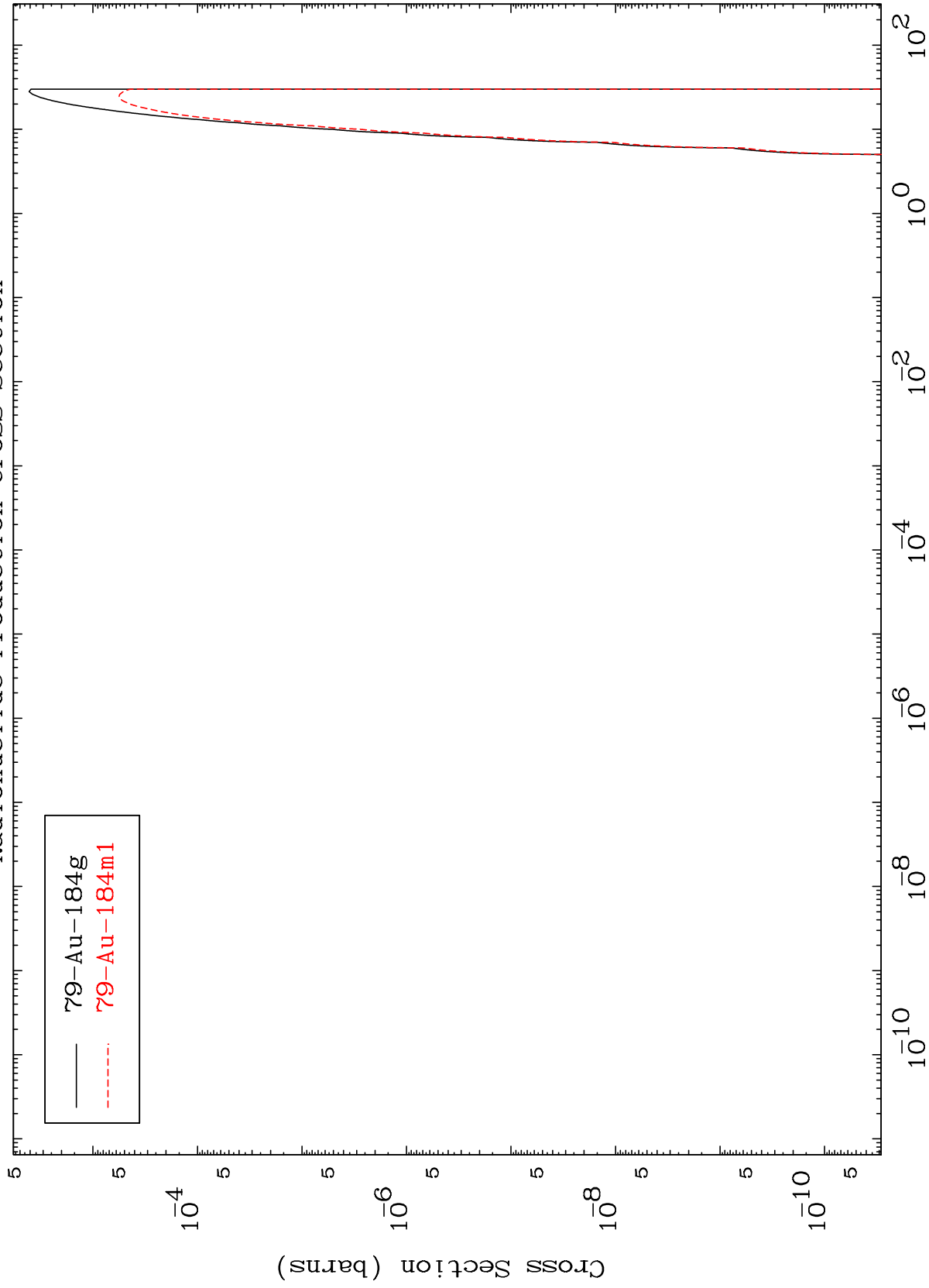
81-Tl-187

MAT 8077

(d,p)  $\alpha$

81-Tl-187

Radionuclide Production Cross Section



—  $^{79}\text{Au-184g}$   
- - -  $^{79}\text{Au-184m1}$

28

Incident Energy (MeV)

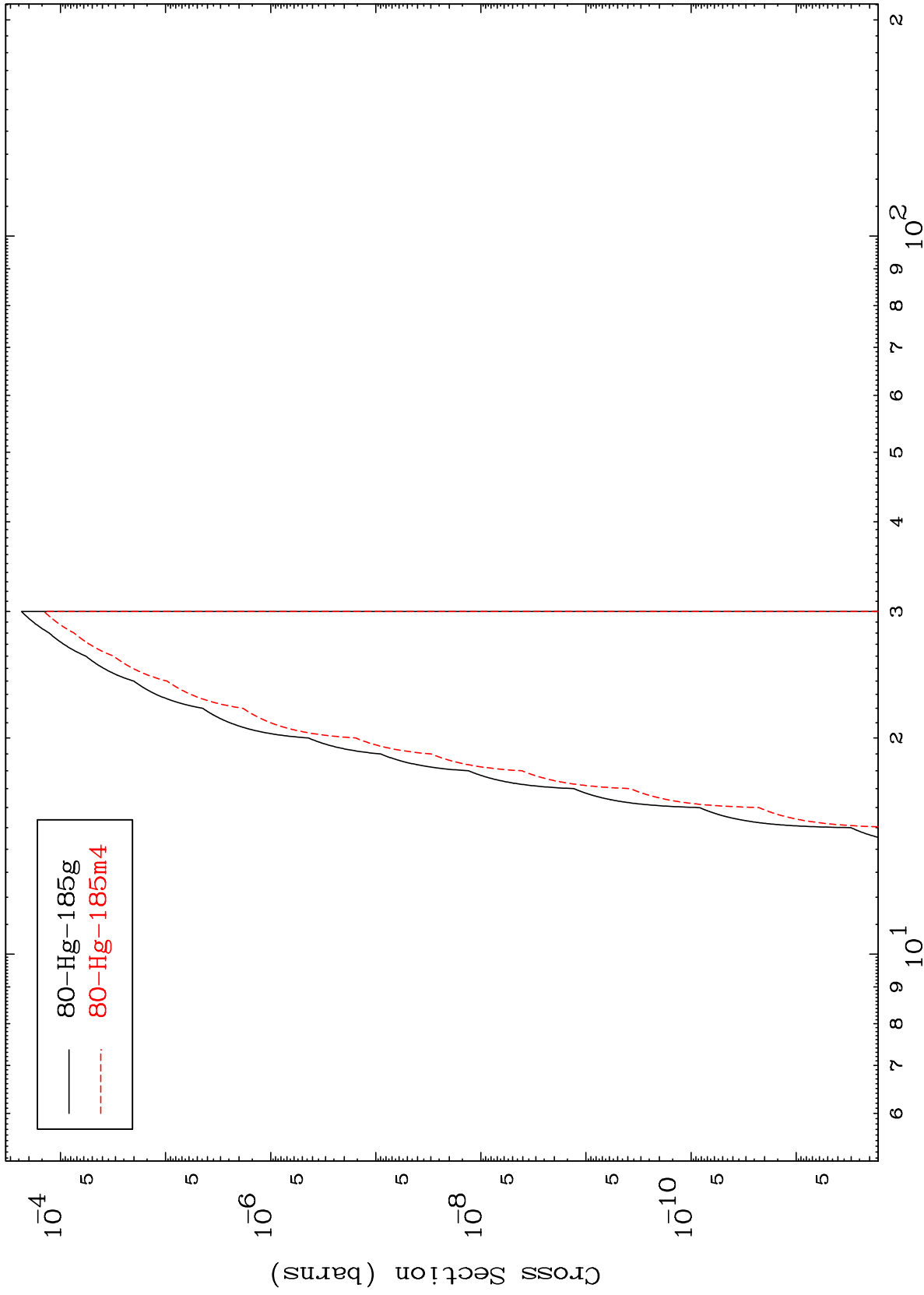
81-Tl-187

MAT 8077

(d,p) t

81-Tl-187

Radionuclide Production Cross Section



29

Incident Energy (MeV)

81-Tl-187